

# 伪随机数生成器的原理及应用

谢妍

12412559

January, 2026

**前言** 在某次工概统的作业中，我编写了一个python程序，试图用蒙特卡洛方法来求解模型。令我震惊的是，一个理论期望不超过个位数的实验，我的程序竟然每次都会跑出同一个几十万的结果。百思不得其解时，出于偶然，我修改了随机数种子，实验结果回到了正常。这也正使我意识到，伪随机其实并不随机。

## 目录

<b>1 PRNG</b>	<b>4</b>
1.1 平方取中法 . . . . .	4
1.2 线性与置换同余生成器 . . . . .	10
1.2.1 乘法LCG . . . . .	11
1.2.2 混合LCG . . . . .	11
1.2.3 PCG . . . . .	12
1.3 线性反馈移位寄存器 . . . . .	17
1.3.1 Fibonacci 型 . . . . .	18
1.3.2 Galois 型 . . . . .	19
1.4 梅森旋转算法 . . . . .	20
1.5 xoshiro系列 . . . . .	25
<b>2 CSPRNG</b>	<b>27</b>
2.1 基本概念 . . . . .	27
2.2 标准演变 . . . . .	28
2.2.1 ANSI X9.17 与 ANSI X9.31 . . . . .	28
2.2.2 历史演变 . . . . .	28
2.2.3 NIST SP 800-90A . . . . .	28
2.3 6种CSPRNG . . . . .	29
2.3.1 Hash DRBG . . . . .	29
2.3.2 HMAC DRBG . . . . .	29
2.3.3 CTR-DRBG . . . . .	30
2.3.4 Dual EC DRBG . . . . .	30
2.3.5 Blum Blum Shub . . . . .	31

2.3.6 ChaCha . . . . .	32
2.4 Hash PRNG的简单实现 . . . . .	33
<b>3 密码学标准中的伪随机数应用 . . . . .</b>	<b>35</b>
3.1 PKCS#1 . . . . .	35
3.2 PKCS#5 . . . . .	35
<b>4 不同编程语言中的随机数 API . . . . .</b>	<b>37</b>
4.1 各语言PRNG API . . . . .	37
4.1.1 C语言中的随机数 . . . . .	38
4.2 C++ 中的随机数 . . . . .	38
4.2.1 engines . . . . .	38
4.2.2 distribution . . . . .	39
4.2.3 seeding . . . . .	39
4.2.4 线程安全 . . . . .	39
<b>5 PRNG的评价指标 . . . . .</b>	<b>40</b>
5.1 统计仿真 . . . . .	40
5.2 密码学 . . . . .	40
<b>6 应用实验 . . . . .</b>	<b>41</b>
6.1 抽奖公平性实验 . . . . .	41
6.1.1 实验设计 . . . . .	41
6.1.2 实验结果与分析 . . . . .	42
6.2 Salt 生成实验 . . . . .	49
6.2.1 实验设计 . . . . .	49
6.2.2 实验结果与分析 . . . . .	50
<b>7 结语 . . . . .</b>	<b>55</b>
7.1 报告总结 . . . . .	55
7.2 个人反思 . . . . .	55

# 1 PRNG

伪随机数生成器(PRNG, pseudo random number generator)是根据一个初始值，生成一个近似于随机数序列的算法。与之相对的是真随机随机数生成器(TRNG, true random number generator)，PRNG不依赖于外源而完全基于算法，而TRNG依赖于物理不可预测的随机源，如热噪声、放射性衰变、大气噪声。PRNG最致命的缺点无疑是其生成的序列“完全不随机”。冯·诺依曼曾说到：

**Anyone who attempts to generate random numbers by deterministic means is, of course, living in sin.**

一个确定的算法，无论如何无法生成真正随机性。然而，我们在对安全性要求不高的实践中常常选用PRNG，是因为PRNG不需要经过复杂的硬件和信号处理，速度快、不受环境干扰，甚至是因为其可预测性。

**各种随机的定义** 正如之前所说，PRNG本质上是在用确定的算法做真随机的近似，也就是实现伪随机。要了解PRNG，我们要从基本定义开始。在计算机领域，伪随机通常指用确定的算法来达到统计上随机的方法。而统计随机，指序列没有可识别的特征或常规，并不具有客观的不可预测性。这并不是说一个有一定特征的序列就不符合统计随机。这里还有两个概念要区分：全局随机(global randomness)和局部随机(local randomness)。想象一个长度为100的序列，其1-10位为0，11-20位为1，21-30位为2，以此类推。统计学上，整个序列各数位的分布是完全均匀的，然而局部上完全不随机。因此，要检验一个PRNG的统计学性质，我们不仅要对其全局的数位分布进行统计，还要对其相邻位的相关性进行检查。

**朴素PRNG实现** 伪随机序列的生成常常基于数学公式或硬件设备。下面给出了四种较为常见的方法以及对于随机性的分析。

## 1.1 平方取中法

1946年，冯·诺依曼提出平方取中法(Middle-square method)，这是一个简单的PRNG，其伪代码如下。

---

**Algorithm 1** Middle-Square Method

---

**Require:** digit width  $n$ , seed  $x_0 \in \{0, 1, \dots, 10^n - 1\}$ , number of outputs  $T$

**Ensure:** sequence  $x_1, x_2, \dots, x_T$

```
1:  $B \leftarrow 10^n$                                 ▷ state space size  
2:  $H \leftarrow 10^{n/2}$                             ▷ half-width base  
3: for  $t \leftarrow 0$  to  $T - 1$  do  
4:    $y \leftarrow x_t \times x_t$                       ▷ square  
5:    $x_{t+1} \leftarrow \left\lfloor \frac{y}{H} \right\rfloor \bmod B$     ▷ take middle  $n$  digits  
6: end for  
7: return  $(x_1, x_2, \dots, x_T)$ 
```

---

由于平方取中法本质上是一个确定性状态机，我们可以将它与图论联系起来。把每个状态看作一个顶点，每对  $x$  与  $f(x)$  以一条有向边表示。每个状态的下一状态完全取决于上一状态，每个点的出度都恰好为 1。

**周期性** 对于这样的图，我们可以证明：其每个连通分量都包含一个环加上若干指向环的入树。利用seed到环的距离与第一次访问已访问过的节点的距离，就可以计算出该环的长度。利用python进行平方取中法的模拟，以所有6位数作为种子，sample space = 1000000进行实验，结果如下：

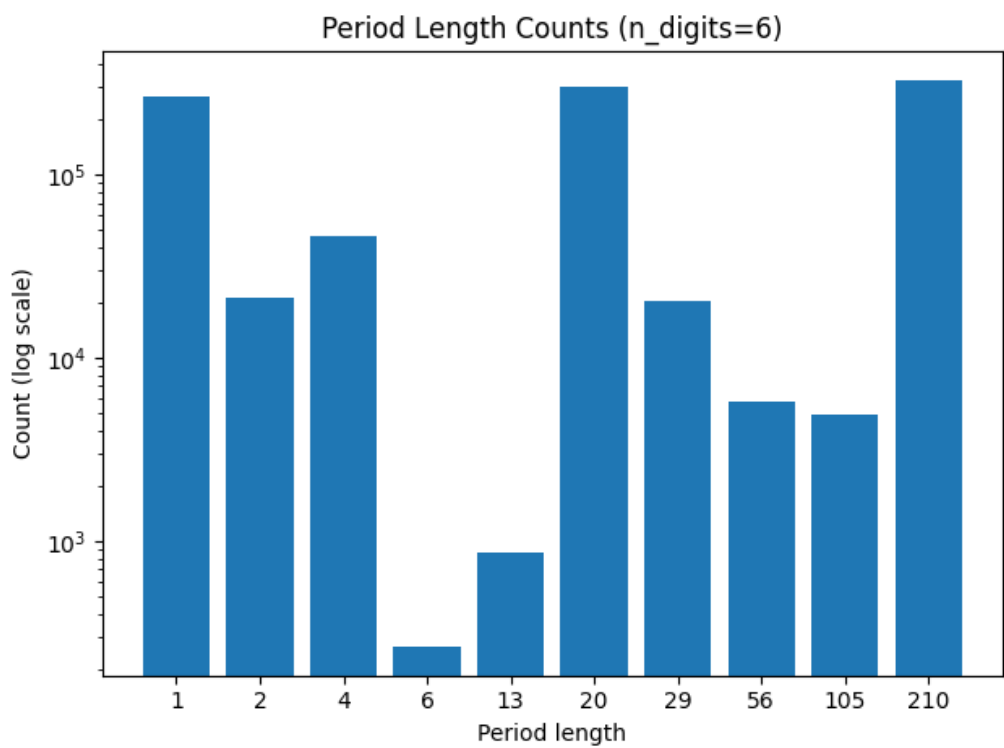


图 1: Period分布

$$E[\text{period}] = 77.1$$

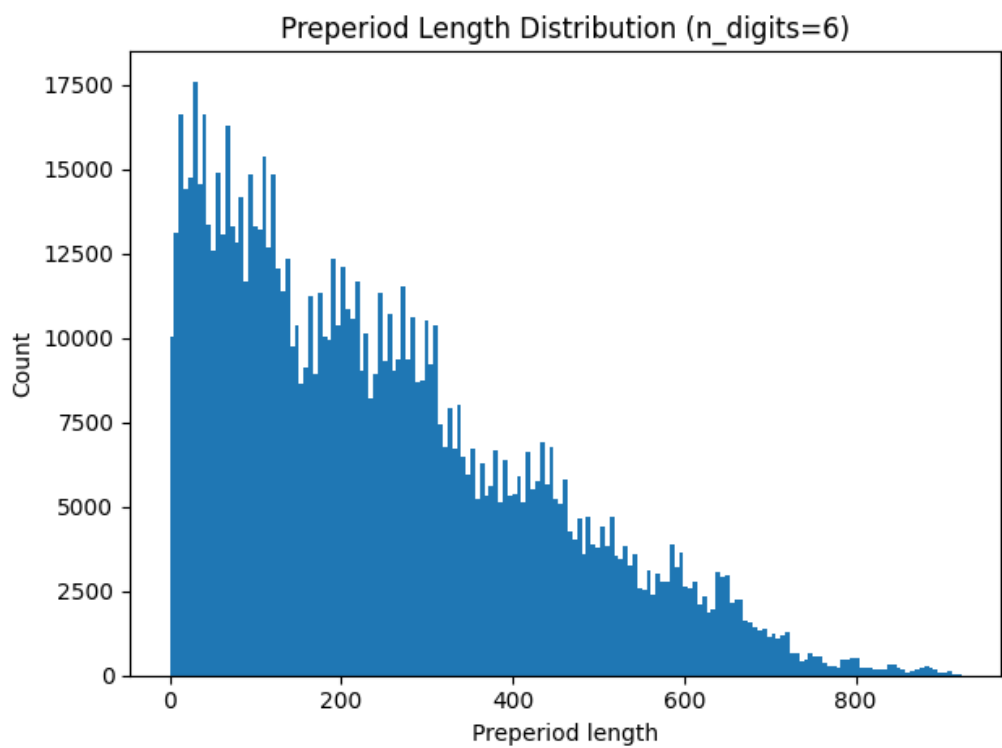


图 2: Preperiod分布

$$E[\text{preperiod}] = 249.1$$

环的数量:

表 1: Cycle length distribution (middle-square,  $n = 6$ )

Cycle length	# cycles
1	6
2	1
4	2
6	1
13	1
20	2
29	1
56	1
105	1
210	1

可以看到，平方取中法的周期几乎总是很短，对应平方取中法的图中，小环应该占比极大。而且取中间n位的操作会丢失所有高位和低位信息，大量不同的 $x$ 会映射到同一 $x'$ ，造成环上的入度较大。对于大多数种子(图的起点)，很快会收缩映射(many-to-one)到某个环。这两点造成了平方取中法短周期以及弱覆盖的性质。

数位分布 结果如图所示：

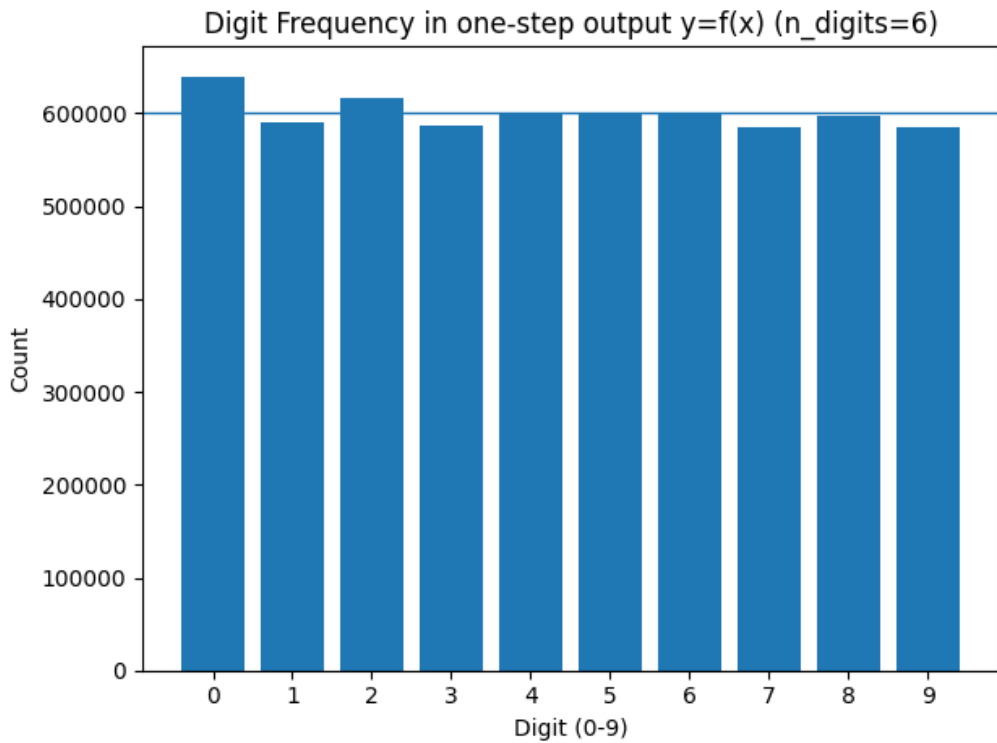


图 3: Digit frequency

就单个数位来说，除了0以外，其他分布都比较均匀。这一偏差来源于平方运算在十进制下的结构性限制(尤其是含 2、5 因子的输入会使 $x^2$ 产生更多 0)，以及取中间位导致的信息丢失和 many-to-one 收缩，使输出更倾向出现较小数值与前导 0，从而抬高数字 0 的总体出现频率。

$x-f(x)$  分布 结果如图所示：

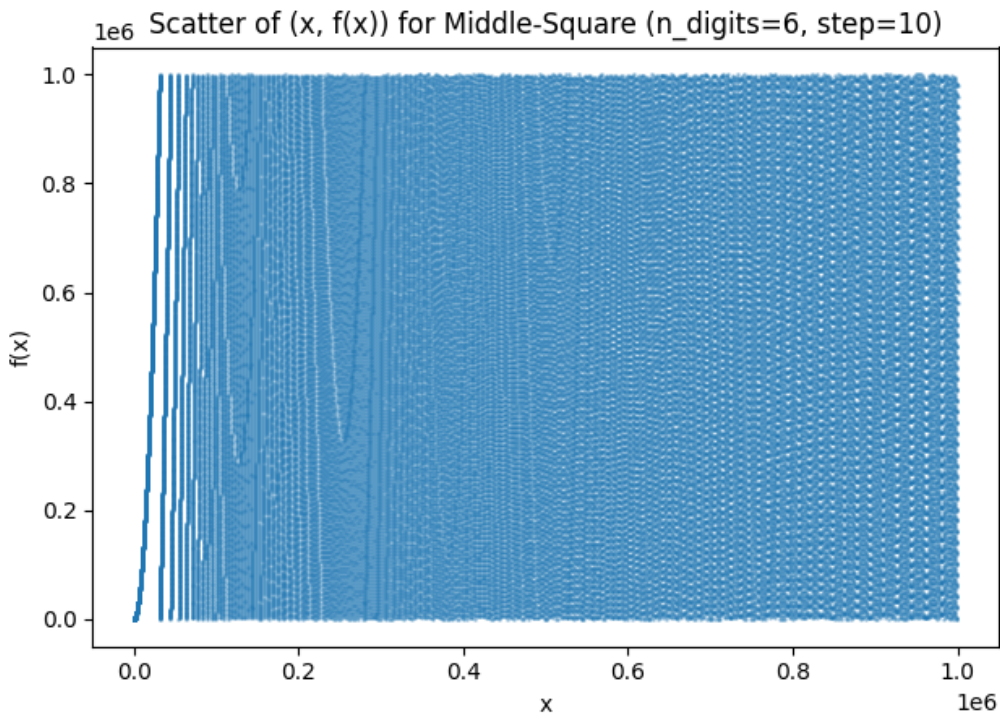


图 4:  $x-f(x)$  分布

在  $x < 3 \cdot 10^6$  时出现明显条纹状， $x-f(x)$  相关性很强，随机性不高。

**安全性** 给定序列中任一数字，其后向可直接通过公式计算，前驱计算能在多项式时间内解决，攻击者可通过枚举或预算反向映射快速求得前驱集合，从而实现倒推。取中间位造成的信息丢失使映射 many-to-one，虽使前驱不唯一，但结合多步观测可快速剪枝定位真实轨迹。因此平方取中法不具备实际安全性，不适用于要求安全性的场景。

## 1.2 线性与置换同余生成器

线性同余生成器(LCG, Linear congruential generator)基于模运算，是最早的，也是最广为人知的伪随机数生成器之一。其定义式：

$$X_{n+1} \equiv aX_n + c \pmod{m}$$

一般称  $a$  为乘数(multiplier),  $c$  为增量(increment)。

先考虑特例:  $c = 0$

### 1.2.1 乘法LCG

又称multiplicative congruential generator(MCG), Lehmer RNG。因为  $c = 0$ , MCG的解满足:

$$X_{n+1} \equiv aX_n \pmod{m} \equiv a^{n+1}X_0 \pmod{m}$$

这是一个齐次线性变换。也就是说, 解集

$$\mathcal{S}_0 = \{(D_n)_{n \geq 0} : D_{n+1} \equiv aD_n \pmod{m}\}$$

是一个  $\mathbb{Z}_m$ -module。

注意到当  $d = \gcd(a, m) \neq 1$  时, 序列会被压缩到  $d$  的倍数中, 造成周期变短。

### 1.2.2 混合LCG

回到  $c \neq 0$  的情况。

递推式不再是一个齐次线性变换, 而是一个仿射(affine)。更具体地, 设  $\mathcal{S}_c$  为所有满足上述递推的序列集合:

$$\mathcal{S}_c = \{(X_n)_{n \geq 0} \in (\mathbb{Z}_m)^{\mathbb{N}} : X_{n+1} \equiv aX_n + c \pmod{m} \forall n\}.$$

$\mathcal{S}_c$  一般不再是  $\mathbb{Z}_m$ -模。

取任意一个特解序列  $(P_n) \in \mathcal{S}_c$ , 令差序列  $D_n = X_n - P_n$ , 则

$$D_{n+1} = X_{n+1} - P_{n+1} \equiv (aX_n + c) - (aP_n + c) \equiv aD_n \pmod{m}.$$

因此差序列满足齐次递推  $D_{n+1} \equiv aD_n \pmod{m}$ 。也就是说,  $\mathcal{S}_c$  是齐次解集  $\mathcal{S}_0$  的一个平移(affine coset):

$$\mathcal{S}_c = (P_n) + \mathcal{S}_0.$$

### 1.2.3 PCG

置换同余生成器(PCG, Permuted congruential generator)在LCG的基础上增加了输出置换函数(output permutation function)，用于破坏其线性/仿射结构。输出置换函数常常是以下操作的组合：

**RR (random rotation)** 给定一个  $2^b$  位的输入，最高  $b - 1$  位用于循环移位量，对输入的下半部分位向右循环移位，丢弃最低的  $2^{b-1} + 1 - b$  位。

**RS (random shift)** 从  $2b$  位输入开始，前  $b - 3$  位用于移位量，该移位量应用于接下来的  $2^{b-1} + 2^{b-3} - 1$  位，并将最终结果的下半部分输出，丢弃最低  $2^{b-1} - 2^{b-3} - b + 4$  位。

**XSH (xorshift)** 相当于  $x \wedge= x >> constant$ 。选择的常数为下一个操作没有丢弃的位的一半（向下取整）。

**XSL(XOR)** 对输入的上半部分与下半部分进行异或操作。

**RXS (random xorshift)** 类似于XSH，但使用一个随机的移位量。

**M (multiply)** 将输入乘以一个固定常数。

常见的置换输出函数有XSH-RR、XSH-RS、XSL-RR、RXS-M-XS和XSL-RR-RR。

其实，不止对输出进行优化可以改善统计性质，对输入进行优化也可以。如果我们把  $X_{n+1}$  写成  $X_n$  与  $X_{n-1}$  的线性组合，简单的线性关系将被打破。同时，我们也可以取  $X_{n-i}$ ，其中  $i$  为线性随机数。这样虽然能够打破简单线性关系，但也只不过是线性状态的叠加，没有改变LCG易破解的本质。而同时，这种方法需要储存多个状态，不如PCG高效。

**周期性** 关于混合LCG的周期，我们有Hull–Dobell 定理：如果以下三个条件都成立：

$$\gcd(c, m) = 1$$

$$\forall p \text{ prime with } p \mid m, \quad p \mid (a - 1)$$

$$4 \mid m \Rightarrow 4 \mid (a - 1)$$

那么该递推为满周期。

与平方取中法类似，LCG 诱导出一个图：每个节点  $x$  有唯一出边指向  $f(x)$ 。因此每个连通分量同样由一个有向环加上若干指向该环的入树构成。若  $f$  为双射，则每个连通分量退化为纯环（每点入度为 1），不存在入树与 preperiod。

对 LCG 而言， $f$  是双射当且仅当

$$\gcd(a, m) = 1.$$

此时所有种子都直接位于某个环上（preperiod 为 0）。

进一步地，在混合 LCG ( $c \neq 0$ ) 中，若满足 Hull–Dobell 定理的满周期条件，则整个状态空间  $\{0, 1, \dots, m-1\}$  构成唯一一个长度为  $m$  的大环。若不满足上述条件，则图会分裂为多个较短环，并在  $\gcd(a, m) \neq 1$  时出现明显的入树结构，从而导致周期变短、覆盖性变弱。

环长可以通过 preperiod 与首次重复访问时间来计算。

LCG 的周期性质依赖于参数选择，在满足满周期条件时可达到极大周期并实现良好覆盖。

数位分布 结果如图所示：

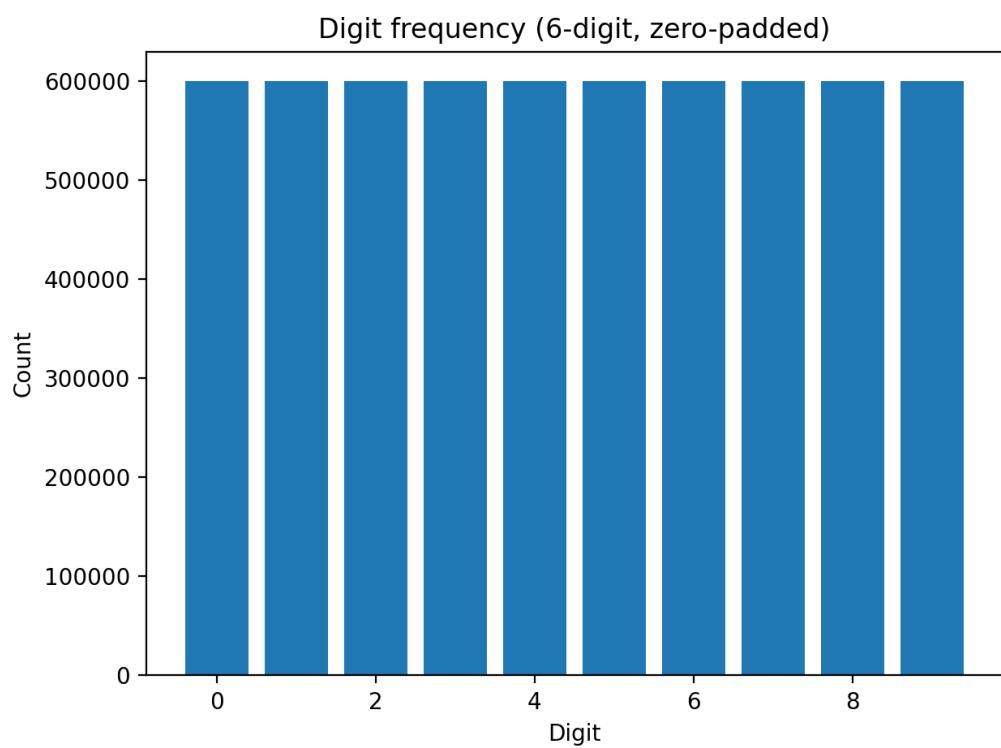


图 5: Digit frequency

可以看到相较于平方取中法，数位分布更平均，随机性更好。

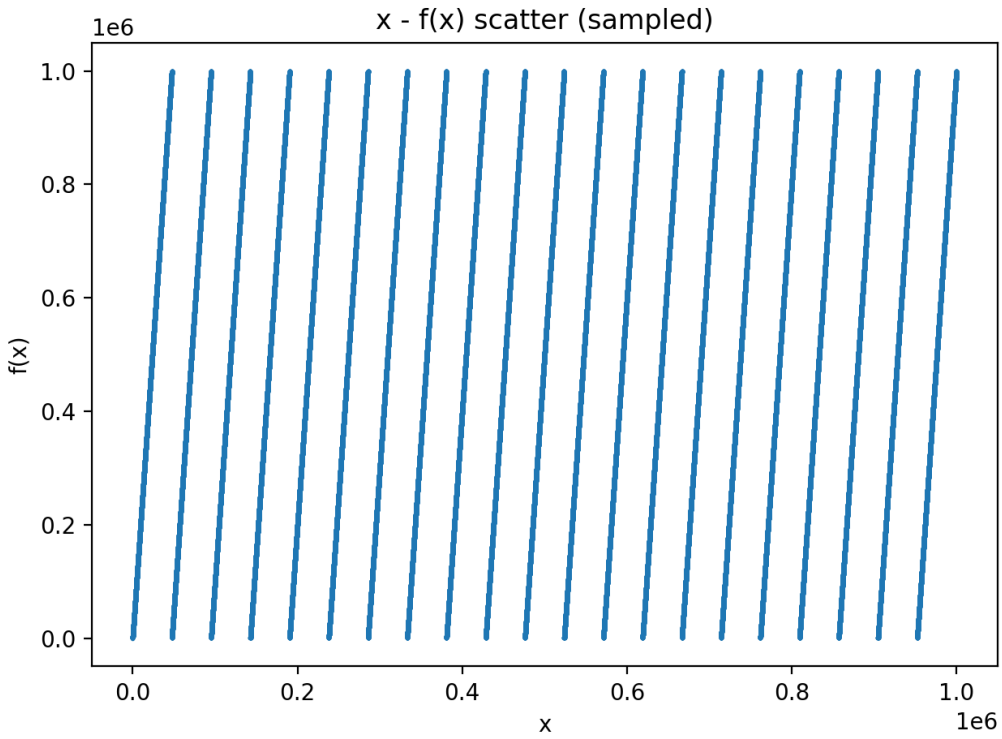


图 6: LCG  $x-f(x)$  分布

**x-f(x)分布** 出现了极强的条纹结构，这是由LCG自身的性质决定的。

LCG 公式：

$$f(x) = (ax + c) \bmod m.$$

将  $\bmod m$  展开，可写为

$$f(x) = ax + c - km, \quad k = \left\lfloor \frac{ax + c}{m} \right\rfloor.$$

因此，对每一个固定的整数  $k$ ，点集  $(x, f(x))$  满足一条直线方程

$$y = ax + c - km,$$

其斜率恒为  $a$ 。当  $x \in [0, m)$  时， $\frac{ax+c}{m}$  的取值范围约为  $[0, a)$ ，从而

$$k \in \{0, 1, 2, \dots, a-1\}.$$

故散点图由大约  $a$  条线段组成。我们在实验中人为规定  $a = 21, c = 1, k$  取 0 到 20，理论上会出现约 21 条线段，事实也如此。

前面已经提到，PCG 可以破坏 LCG 的线性结构。我们选取置换函数 XSH-RR，只需对 LCG 的输出再进行一次置换操作，结果如下：

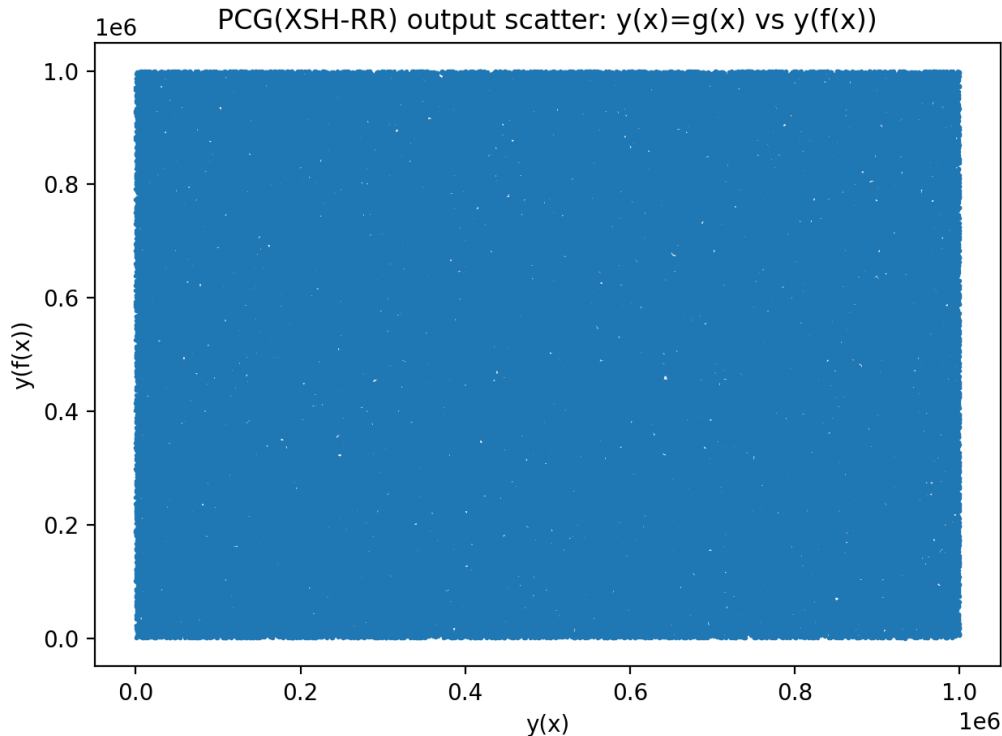


图 7: PCG  $x-f(x)$  分布

比特层面可见的线性结构已经被破坏了。PCG 拥有更好的随机性， $x-f(x)$  不再有简单线性关系。

**dieharder 测试** 其实对于非密码学 PRNG，已经有很成熟的测试程序，如 Dieharder、TestU01。这里简单演示 LCG 的 dieharder 部分测试结果。

Test	ntup	tsamples	psamples	p-value	Assessment
diehard_birthdays	0	100	100	0.99903408	WEAK
diehard_operm5	0	1000000	100	0.24289655	PASSED
diehard_rank_32x32	0	40000	100	0.44947024	PASSED
diehard_rank_6x8	0	100000	100	0.00000000	FAILED
diehard_bitstream	0	2097152	100	0.00000000	FAILED
diehard_opso	0	2097152	100	0.00000000	FAILED
diehard_oqso	0	2097152	100	0.00000000	FAILED
diehard_dna	0	2097152	100	0.00000000	FAILED
diehard_count_1s_str	0	256000	100	0.00000000	FAILED
diehard_count_1s_byt	0	256000	100	0.00000000	FAILED
diehard_parking_lot	0	12000	100	0.88193571	PASSED
diehard_2dsphere	2	8000	100	0.01224158	PASSED
diehard_3dsphere	3	4000	100	0.69657100	PASSED
diehard_squeeze	0	100000	100	0.75328745	PASSED
diehard_sums	0	100	100	0.77062470	PASSED
diehard_runs	0	100000	100	0.10869711	PASSED
diehard_runs	0	100000	100	0.89741629	PASSED
diehard_craps	0	200000	100	0.56377733	PASSED
diehard_craps	0	200000	100	0.78677959	PASSED
marsaglia_tsang_gcd	0	10000000	100	0.00000000	FAILED
marsaglia_tsang_gcd	0	10000000	100	0.00000000	FAILED

表 2: Dieharder 测试结果

可以看到即使只展示了部分测试，还是非常全面的。缺点是测试需要时间比较长。

### 1.3 线性反馈移位寄存器

LFSR(Linear feedback shift register)是指给定前一状态的输出，将该输出的线性函数再用作输入的移位寄存器。LFSR主要有Fibonacci 和 Galois两种实现，主要区别是Fibonacci使用多位XOR，而Galois使用只在移位

过程中使用分散的XOR。

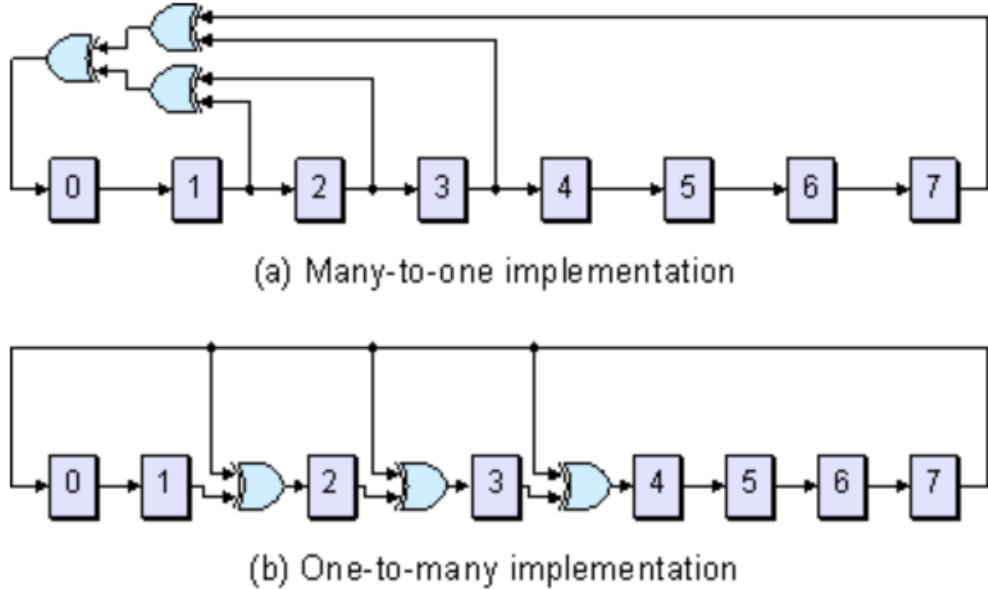


图 8: LFSR 电路

**具体步骤** 规定寄存器长度为  $n$ , 时刻  $t$  的状态为

$$\mathbf{s}(t) = (s_{n-1}(t), s_{n-2}(t), \dots, s_0(t)) \in \{0, 1\}^n,$$

每拍右移一位移出  $s_0$ , 并在最左端注入新bit。输出取移出位

$$y(t) = s_0(t).$$

全零态会出现锁死情况, 因此要求初始种子  $\mathbf{s}(0) \neq 0$ 。

### 1.3.1 Fibonacci 型

给定 tap 集合  $T \subseteq \{0, 1, \dots, n - 1\}$  (表示参与反馈异或的寄存器位下标)。每个时钟周期  $t \rightarrow t + 1$  的更新步骤如下:

1. 输出:  $y(t) = s_0(t)$ 。

2. 反馈计算：计算反馈位

$$f(t) = \bigoplus_{i \in T} s_i(t),$$

其中  $\oplus$  表示 GF(2) 上的加法 (XOR)。

3. 移位：对  $i = 0, 1, \dots, n - 2$ ,

$$s_i(t + 1) = s_{i+1}(t).$$

4. 注入：将反馈位注入最高位

$$s_{n-1}(t + 1) = f(t).$$

### 1.3.2 Galois 型

给定注入集合  $J \subseteq \{1, 2, \dots, n - 1\}$ 。每个时钟周期  $t \rightarrow t + 1$  的更新步骤如下：

1. 输出与反馈位：取

$$y(t) = s_0(t), \quad b(t) = s_0(t).$$

2. 移位并注入：

- 对最低位，右移一位：

$$s_0(t + 1) = s_1(t).$$

- 对  $i = 1, 2, \dots, n - 2$ ,

$$s_i(t + 1) = \begin{cases} s_{i+1}(t) \oplus b(t), & i \in J, \\ s_{i+1}(t), & i \notin J. \end{cases}$$

3. 写入最高位：

$$s_{n-1}(t + 1) = b(t).$$

$T$  与  $J$  选取恰当时，两者在周期与线性性质上等价。

LFSR通常适用于硬件开发，在此处不过多赘述。

## 1.4 梅森旋转算法

梅森旋转算法由松本真和西村拓士在1997年开发，其基本思想基于二元域  $GF(2)$  上的线性递推，可以在相对可接受的计算/存储成本下，生成周期极长、在高维上表现良好的伪随机数序列，是R、Python、Matlab和C等语言的默认PRNG。

除了之前提到的评价PRNG的几个维度，还有一种方式被认为是PRNG最严格的评价指标：**k维v比特准确度 (k-distributed to v-bit accuracy)**。

**$k$ -distributed to  $v$ -bit accuracy ( $k$  维、 $v$  比特精度的均匀分布) 设  $\{X_i\}$  是周期为  $P$  的  $w$ -bit 伪随机序列，其中  $X_i \in \{0, 1, \dots, 2^w - 1\}$  且  $X_{i+P} = X_i$ 。定义截断函数  $t_v(\cdot)$  为取  $X_i$  的前  $v$  个（最高有效）比特：**

$$t_v(X_i) = \left\lfloor \frac{X_i}{2^{w-v}} \right\rfloor \in \{0, 1, \dots, 2^v - 1\}.$$

对每个  $i$  (通常按周期取模)，构造长度为  $k$  的“ $v$ -bit 向量块”

$$B_i = (t_v(X_i), t_v(X_{i+1}), \dots, t_v(X_{i+k-1})) \in \{0, 1, \dots, 2^v - 1\}^k.$$

将  $B_i$  视为一个  $kv$ -bit 向量 (例如按顺序拼接  $k$  个  $v$ -bit 截断值)。

若在所有  $P$  个块  $\{B_i\}_{i=0}^{P-1}$  中，每一个可能的非零  $kv$ -bit 向量都出现相同次数，则称  $\{X_i\}$  是  **$k$ -distributed to  $v$ -bit accuracy**。形式化地，对任意  $u \in \{0, 1\}^{kv} \setminus \{0^{kv}\}$ ，都有

$$\#\{i \in \{0, \dots, P-1\} : B_i = u\} = \frac{P}{2^{kv} - 1}.$$

可以证明，梅森旋转算法具有 $k$ 维 $v$ 比特准确度。

我们在课上讲过，梅森质数是一类形如  $2^n - 1$  的素数。而MT19937就使用了  $2^{19937} - 1$  这个梅森素数作为生成伪随机数的循环长度。下面我们将以MT19937为例，介绍梅森旋转算法的具体实现。

**梅森旋转算法实现(以MT19937为例)** 两个重要概念：Twist 和 Tempering。

**Twist** 更新内部状态，决定周期与核心混合结构。

具体操作：

### 1. 拼接相邻 word 的高位与低位

用掩码把  $\text{mt}[i]$  的高  $(w - r)$  位与  $\text{mt}[i + 1]$  的低  $r$  位拼成  $w$ -bit 的  $x$ :

$$x \leftarrow (\text{mt}[i] \& \text{upper\_mask}) + (\text{mt}[i + 1] \& \text{lower\_mask}).$$

让“一个 word 的高位”和“下一个 word 的低位”发生耦合，避免每个 word 近似独立地演化，增强跨 word 的信息传播。

### 2. 线性反馈：右移并按最低位条件异或常数

计算

$$xA \leftarrow x \gg 1, \quad \text{若 } (x \& 1) = 1 \text{ 则 } xA \leftarrow xA \oplus a.$$

在  $\mathbb{F}_2$  上用一个固定的  $w \times w$  矩阵作用于  $x$ ，从而形成 LFSR 风格的反馈结构。它是 MT 达到最大周期与良好线性递推性质的关键之一。

### 3. 与远处索引做异或

将上面的结果与  $\text{mt}[i + m]$  异或生成新状态：

$$\text{mt}[i] \leftarrow \text{mt}[i + m] \oplus xA.$$

这里的  $m$  使得更新依赖一个“远距离”的状态元素，增强状态混合的跨度，降低短期相关结构。

**Tempering** 改造输出，提升统计性质

当从状态数组取出一个 word  $y = \text{mt}[index]$  时，MT 并不直接输出它，而是做一串固定的位变换（移位、掩码、异或）：

$$\begin{aligned} y &\leftarrow y \oplus ((y \gg u) \& d), \\ y &\leftarrow y \oplus ((y \ll s) \& b), \\ y &\leftarrow y \oplus ((y \ll t) \& c), \\ y &\leftarrow y \oplus (y \gg l). \end{aligned}$$

**Tempering**通过移位把高位信息注入低位（或反向），再用异或把这些信息叠加，使得输出的每一位更像“多个状态位的组合”来修正可见的线性结构与低位问题，从而改善常用统计检验以及  $k$ -distribution等指标。

下面是梅森旋转的具体步骤：

**1. 状态表示** 设字长  $w = 32$ ，状态数组长度  $n = 624$ ，并维护指针  $index$ 。内部状态为

$$\mathbf{mt}[0..n-1] \quad (\text{每个元素是一个 } w\text{-bit word}), \quad index \in [0, n].$$

对 MT19937，参数  $m = 397$ ,  $r = 31$ 。

**2. 初始化 (seeding)** 给定 32-bit 种子  $s$ ，用一个递推填满状态数组：

$$mt[0] \leftarrow s, \quad mt[i] \leftarrow f \cdot (mt[i-1] \oplus (mt[i-1] \gg (w-2))) + i \quad (1 \leq i \leq n-1),$$

并令  $index \leftarrow n$ ，表示“状态已用尽，下一次取数前需要 twist”。

**3. 扭转 (Twist)** 当  $index \geq n$  时，执行 twist 生成下一批  $n$  个状态 word。定义掩码：

$$lower\_mask = (1 \ll r) - 1, \quad upper\_mask = (\sim lower\_mask) \& ((1 \ll w) - 1).$$

对每个  $i = 0, 1, \dots, n-1$ ，将相邻两个状态的“高位+低位”拼接成  $x$ :

$$x \leftarrow (mt[i] \& upper\_mask) + (mt[(i+1) \bmod n] \& lower\_mask).$$

然后做一次线性反馈变换：

$$xA \leftarrow x \gg 1, \quad \text{若 } (x \& 1) = 1 \text{ 则 } xA \leftarrow xA \oplus a.$$

最后更新状态：

$$mt[i] \leftarrow mt[(i+m) \bmod n] \oplus xA.$$

完成后令  $index \leftarrow 0$ 。

4. 取数 (Extract) 与回火 (Tempering) 每次需要输出一个 32-bit 随机数时:

1. 若  $index \geq n$ , 先执行 Twist;
2. 取  $y \leftarrow mt[index]$ , 并令  $index \leftarrow index + 1$ ;
3. 对  $y$  做 tempering 以改善统计性质:

$$\begin{aligned}y &\leftarrow y \oplus ((y \gg u) \& d), \\y &\leftarrow y \oplus ((y \ll s) \& b), \\y &\leftarrow y \oplus ((y \ll t) \& c), \\y &\leftarrow y \oplus (y \gg l),\end{aligned}$$

4. 输出  $y$ 。

其伪代码如下:

---

**Algorithm 2** MT19937 (32-bit) Pseudocode

---

```

1: Parameters:  $w \leftarrow 32, n \leftarrow 624, m \leftarrow 397, r \leftarrow 31, \dots$ 
2: State:  $mt[0..n - 1], index$ 
3: procedure SEEDMT( $s$ )
4:    $mt[0] \leftarrow s$ 
5:   for  $i \leftarrow 1$  to  $n - 1$  do
6:      $mt[i] \leftarrow \dots$ 
7:   end for
8:    $index \leftarrow n$ 
9: end procedure
10: procedure EXTRACTNUMBER
11:   if  $index \geq n$  then
12:     TWIST
13:   end if
14:    $y \leftarrow mt[index]; index \leftarrow index + 1$ 
15:   Tempering:  $y \leftarrow y \oplus (y \gg 11); \dots$ 
16:   return  $y$ 
17: end procedure
```

---

由于真正 MT19937 的状态空间是  $2^{19937}$  量级，无法像 mid-square/LCG 那样“全空间功能图”枚举 period/preperiod。我们人为定义一个在  $10^6$  状态上的确定性函数  $f(x)$  MT-derived，用于对比“输出混合/置换”效果与 mid-square/LCG 的差异；它不等价于 MT 的真实内部状态周期。

数位分布 如图：

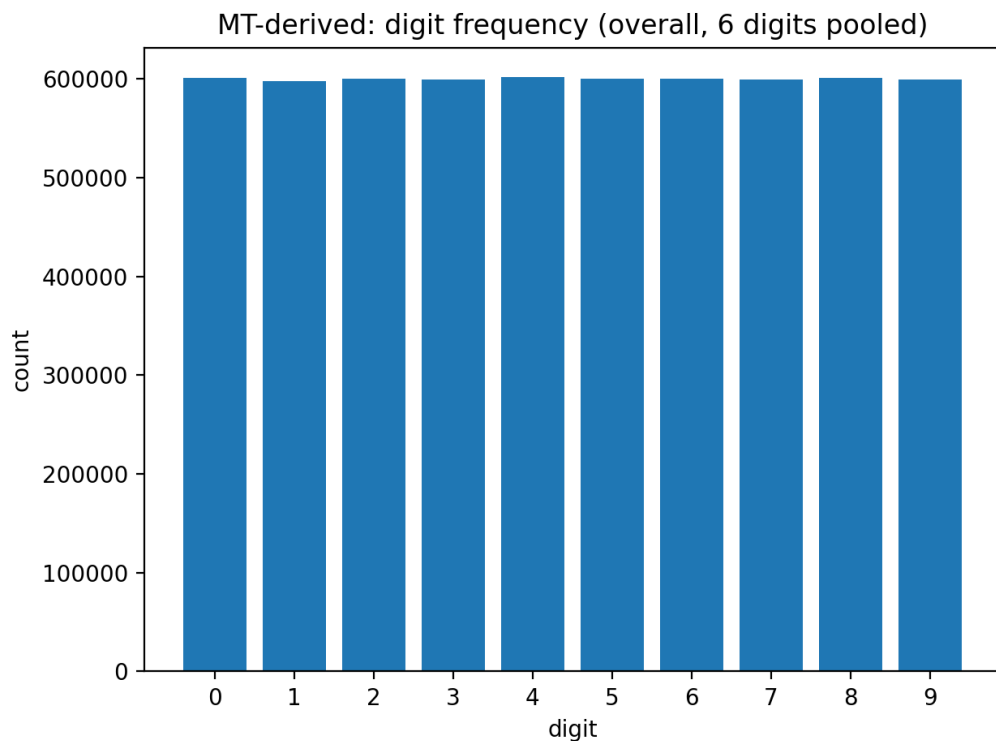


图 9: Digit frequency

分布均匀。

$x-f(x)$  分布 如图：

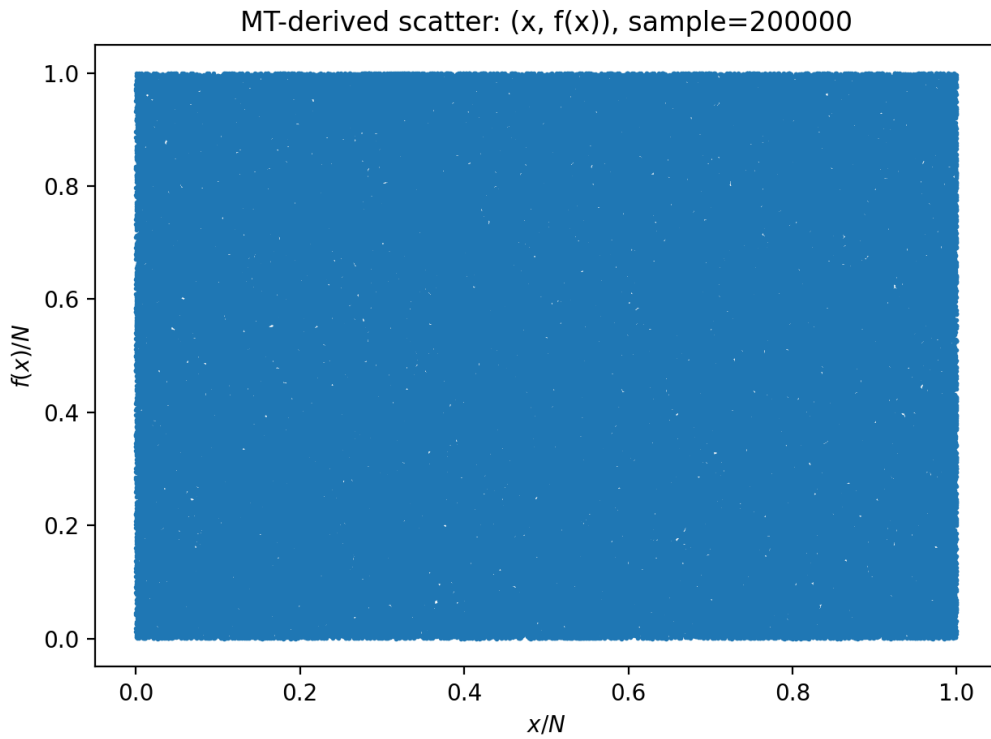


图 10:  $x-f(x)$  分布

分布均匀。

**安全性** MT的核心仍然是核心是异或/移位的线性递推，而tempering的四种操作均可逆，这意味着，密码学意义上，MT是一个不安全的算法。

## 1.5 xoshiro系列

xoshiro 系列是 Blackman 与 Vigna 提出的现代非密码学 PRNG，一般被认为是“XOR/shift/rotate”家族的代表。其设计目标是：

- 在 64 位平台上尽可能快，适合数值模拟与 Monte Carlo；
- 状态非常小，缓存友好；
- 在 TestU01、PractRand 等统计测试中表现良好；

- 接口简单：给定种子后，每次调用返回一个 64 位伪随机数。

以 `xoshiro256**` 为例，其内部状态为

$$\mathbf{s} = (s_0, s_1, s_2, s_3) \in (\{0, 1\}^{64})^4.$$

每轮输出与状态更新大致为：

1. **输出函数 (star-star)**：先将  $s_1$  乘以一个固定奇数常量，再做一次循环移位，最后再乘以常数，得到输出

$$\text{out} = ((s_1 \times C_1) \lll 7) \times C_2,$$

其中  $\lll$  为 64 位左循环移位， $C_1, C_2$  是经验选取的奇数常数。这一“乘法 + 旋转”的非线性输出层被称为 *scrambler*，用来打破底层线性结构。

2. **状态更新 (xorshift+rotate)**：对  $\mathbf{s}$  做一系列 XOR 和旋转：

$$t \leftarrow s_1 \ll 17,$$

$$s_2 \leftarrow s_2 \oplus s_0,$$

$$s_3 \leftarrow s_3 \oplus s_1,$$

$$s_1 \leftarrow s_1 \oplus s_2,$$

$$s_0 \leftarrow s_0 \oplus s_3,$$

$$s_2 \leftarrow s_2 \oplus t,$$

$$s_3 \leftarrow s_3 \lll 45.$$

可以看到，状态转移本质上仍是在  $GF(2)$  上的线性变换（XOR 与移位），只是叠加了输出端的乘法与旋转以改善统计性质和位扩散效果。在实践中，xoshiro 系列具有高性能，适合替代传统的 LCG/MT 用于仿真和随机化算法，但密码学不安全。

## 2 CSPRNG

在进行仿真、蒙特卡洛与可复现实验时，我们应使用可设定种子的非密码学 PRNG，以保证实验可重复。而当涉及安全的随机量时，必须使用**CSPRNG**，其输出应当满足不可预测性。典型使用场景包括：

- **密钥材料**：对称密钥、私钥生成所需随机性等；
- **nonce/IV**：加密协议与模式中每次加密所需的随机量（唯一，不可预测）；
- **salt**：口令哈希盐（需要随机且唯一，以抵抗预计算攻击）；
- **token**：会话 ID、重置口令 token、CSRF token 等。

### 2.1 基本概念

密码学安全伪随机数生成器 (CSPRNG, Cryptographically Secure Pseudorandom Number Generator) 是一类通过确定性算法从一个短的、不可预测的种子扩展生成长随机序列的生成器，目标不仅要让生成序列在统计意义上满足分布，还要让破解者在多项式时间内无法预测序列。

我们之前提到过，一个确定的算法无法生成真正随机的序列。CSPRNG也并非完全随机，而是应该**不可重现**，即：

不能通过一部分给定的随机序列，而以显著大于 $\frac{1}{2}$ 的概率在多项式时间内演算出序列的任何其他部分。

一个可用的CSPRNG必须要满足给定种子易于计算输出，而给定输出无法容易地计算种子。好的CSPRNG应该使输出在多项式时间内计算不可区分于真正随机。

在2006年美国国家标准与技术研究院发布的一份文件中，建议了四种 CSPRNG： Hash-DRBG、 HMAC-DRBG、 CTR-DRBG和 Dual-EC-DRBG。Dual-EC-DRBG因为历史原因，不再是标准实现。

## 2.2 标准演变

### 2.2.1 ANSI X9.17 与 ANSI X9.31

ANSI X9.17与 ANSI X9.31给出了一类经典的确定性伪随机生成机制，其共同特征是：用分组密码作为混合函数，维护一个秘密内部状态  $V$ ，并引入一个随迭代更新的时间/计数向量  $DT$ 。每轮迭代输出一个分组长度的随机块  $R$ ，并更新状态  $V$ 。

### 2.2.2 历史演变

时间	事件与意义
1985	ANSI X9.17给出基于 DEA 多重加密（EDE）的伪随机 Key/IV 生成器。
1998	ANSI X9.31给出几乎同构的 RNG，并更强调 $DT$ 在每次迭代更新。
2005	NIST 发布对 X9.31 A.2.4 的推荐扩展，将 AES 纳入该家族实现。
2011–2015	NIST 的算法迁移建议将 FIPS 186-2、X9.31、X9.62(1998) 等 legacy RNG 标记为 deprecated (2011–2015)，并在 2015 年后 disallowed。
2012/2015	NIST SP 800-90A形成现代 DRBG 体系，使用标准化的接口和明确的安全强度输入要求。

### 2.2.3 NIST SP 800-90A

NIST SP 800-90A将DRNG抽象为一套标准 API 与状态机：

1. **Instantiate** 从熵源获取 entropy input，并结合 nonce 与 personalization string，初始化内部状态。
2. **Generate** 在不引入新熵的前提下，确定性地产生所需随机比特，并更新内部状态。

3. **Reseed** 运行中再次注入熵以刷新内部状态，提高抗状态泄露与长期运行安全性。
4. **Uninstantiate** 擦除内部状态，避免残留。

把算法片段转换为可工程化落地的安全模块规范。

在构造层面，SP 800-90A Rev. 1 的主流 DRBG 族包括：

- **Hash\_DRBG** 基于哈希函数；
- **HMAC\_DRBG** 基于 HMAC；
- **CTR\_DRBG** 基于分组密码 CTR 结构。

将在下一节详细介绍。

下面我们展示6种常见的CSPRNG。

## 2.3 6种CSPRNG

### 2.3.1 Hash DRBG

Hash-DRBG 将内部状态视为一个大整数/比特串（常用记号为  $V$ ），并配合一个常量/计数器（记为  $C$ ）与重播计数器 (*reseed\_counter*)。每次生成输出时，先用哈希驱动的扩展函数从  $V$  派生所需比特，然后对  $V$  做一次确定性更新，以保证前向安全（forward security）与状态演化。

其实现将在下一节介绍。

### 2.3.2 HMAC DRBG

HMAC-DRBG (HMAC-based Deterministic Random Bit Generator) 是一种基于消息认证码 HMAC 的CSPRNG。它从高熵随机源获取一次或多次种子材料 (seed material)，在内部维护少量固定长度状态，并通过迭代计算 HMAC 来输出伪随机比特流。其安全性通常归约到所选哈希函数

在 HMAC 构造下的伪随机性假设，因此在工程实践中被广泛用于密钥、nonce、会话令牌等安全敏感场景。

HMAC-DRBG 的内部状态主要由两部分组成：密钥  $K$  与工作向量  $V$ ，二者长度均等于底层哈希函数的输出长度（例如 SHA-256 时为 256 bit）。初始化阶段将  $K$  设为全零、 $V$  设为全一，然后把熵输入（以及可选的 nonce、个性化字符串）通过标准的 UPDATE 过程混入状态，从而得到不可预测的初始  $K, V$ 。

在生成 Generate 阶段，生成器重复执行  $V \leftarrow \text{HMAC}(K, V)$ ，并将得到的  $V$  依次拼接为输出，直到达到所需长度。生成结束后再次调用 Update 更新  $K, V$ ，以确保状态持续演化并降低状态恢复或预测未来输出的风险。当输出次数或输出总量达到阈值，或系统获取到新的熵输入时，可执行 Reseed 将新熵通过 Update 注入状态并重置计数器，以恢复更强的不可预测性。

### 2.3.3 CTR-DRBG

CTR-DRBG (Counter-mode Deterministic Random Bit Generator) 属于 Block Cipher DRNGs。它基于分组密码，核心思想是维护一个内部密钥  $K$  与一个计数器/向量  $V$ ，每次生成随机数时对不断递增的  $V$  进行加密，得到的密文块按顺序拼接作为输出。

CTR-DRBG 的内部状态通常包括  $K$ : 密钥与  $V$ : 计数器。初始化时，从高熵源获取种子材料，通过派生函数压缩并扩展到所需长度，用以设置初始  $K, V$ 。在 Generate 阶段，生成器循环计算  $\text{AES}_K(V)$ ，每输出一个分组就将  $V$  加一，以保证输入块不重复；生成结束后继续执行 Update，从而使状态持续演化并降低基于输出恢复状态的风险。

### 2.3.4 Dual EC DRBG

Dual EC DRBG (Dual Elliptic Curve Deterministic Random Bit Generator) 是一种基于椭圆曲线离散对数困难性构造的 DRBG。和其同样利用椭圆曲线的加密方法 ECC，是 RSA 中，对公开密钥加密的主要算法之一。其基本做法是维护一个内部状态  $s$ ，在每轮中计算椭圆曲线点乘得到新状态与输出：先用固定点  $P$  计算  $sP$  并从其坐标导出下一状态，再用同一

个 $s$ 计算  $sQ$  并截取其坐标的部分比特作为输出。它利用椭圆曲线点乘的单向性来实现不可预测的伪随机输出。

然而，有趣的是， $P$ 、 $Q$ 两个是选取的固定点，但是大多数时候，我们并没有人为选取，而是保留了这两个点的默认值。如果设计参数的人一开始让 $Q$ 与 $P$ 存在一个只有他知道的离散对数关系  $Q = dP$ ，那么有： $sQ = s(dP) = d(sP)$ ，存在线性关系！对于对不知道  $d$  的人，想要破解序列，需要计算椭圆曲线离散对数等NP问题。但是，如果  $d$  已知，得到一定数量序列中的元素，就能在极低的时间成本内预测和重构序列。此外，该构造涉及多次椭圆曲线点乘，性能较差，在实践中不如基于 AES 或 HMAC 的 DRBG 高效。

### 2.3.5 Blum Blum Shub

Blum Blum Shub的核心思想是在模  $n$  的乘法群上反复进行平方映射，并从状态中抽取少量bit作为输出。和RSA一样，BBS 的安全性建立在整数分解这个NP问题之上。

#### 参数选择

- 选取两个大素数  $p, q$ ，满足  $p \equiv q \equiv 3 \pmod{4}$  (Blum primes)。
- 令模数  $n = pq$  (Blum integer)。
- 选取种子  $s \in (\mathbb{Z}/n\mathbb{Z})^\times$ ，并设初始状态

$$x_0 = s^2 \pmod{n},$$

使得  $x_0$  落在模  $n$  的二次剩余集合中。

**状态更新与输出** BBS 以平方迭代作为状态转移：

$$x_{i+1} = x_i^2 \pmod{n}.$$

每轮从状态  $x_i$  中抽取输出bit。最常见且最稳妥的做法是输出LSB，也可输出若干低位。

**安全性** 在攻击者不知道  $p, q$  的前提下，从输出 bit 序列预测下一 bit 是 NP 问题，BBS 是一个 CSPRNG。

**缺点** 每步需要大整数模平方运算，性能显著慢于上述其他的 DRBG。

### 2.3.6 ChaCha

前文提到的 Hash-DRBG、HMAC-DRBG 和 CTR-DRBG 都属于 NIST SP 800-90A 推荐的 CSPRNG 构造。另一条重要路线是以流密码为核心的 CSPRNG，其中使用最广泛的是基于 ChaCha 的方案。

ChaCha 最初由 Bernstein 设计为一类 ARX (add-rotate-xor) 流密码，其核心特点是：

- 内部仅使用 32 位加法（模  $2^{32}$ ）、异或与循环移位三种操作，易于在软件中实现且性能极高；
- 状态由 16 个 32 位字组成：固定常量、密钥、计数器与随机数 (nonce)；
- 通过若干轮“quarter round”操作将状态强烈混合，从而生成伪随机的 512 bit 输出块。

ChaCha20 的一轮 quarter round 可抽象为对四个 32 位字  $(a, b, c, d)$  做如下 ARX 混合：

$$\begin{aligned} a &\leftarrow a + b, \quad d \leftarrow (d \oplus a) \lll 16, \\ c &\leftarrow c + d, \quad b \leftarrow (b \oplus c) \lll 12, \\ a &\leftarrow a + b, \quad d \leftarrow (d \oplus a) \lll 8, \\ c &\leftarrow c + d, \quad b \leftarrow (b \oplus c) \lll 7. \end{aligned}$$

一个完整的 ChaCha20 块函数对 16 个字反复执行 20 轮（10 个 double-round），最后将结果与初始状态按字相加并输出 512 bit 密钥流。

若忽略“把密钥流与明文异或”这一步，ChaCha 本质上就是一个以  $(K, \text{nonce}, \text{counter})$  为种子的 CSPRNG。ChaCha 的设计初衷就是密码学安全，在现代操作系统和密码库（如 Linux 内核 CSPRNG、OpenBSD arc4random 新版、libsodium 的 randombytes 钟被普遍采用）。

## 2.4 Hash PRNG的简单实现

### 主要步骤

**初始化** 从系统熵源拿到 entropy，用哈希派生函数把这些材料压缩成内部状态 V，并由 V 再派生一个常量 C。

**生成** 每次需要输出时，反复计算  $\text{Hash}(V)$  并拼接起来得到输出；同时让 V 递增以保证每次哈希输入不同。

**重播种** 输出完成后用  $\text{Hash}(V)$ 、常量 C 和计数器等混合更新 V；生成次数或输出量达到阈值时从熵源再取新熵进行 reseed，恢复不可预测性。

伪代码 如下。

---

**Algorithm 3** Hash-DRBG

---

**Require:** Hash function  $H$ , derivation function  $\text{HASH\_DF}(\cdot, \ell)$

```
1: function INSTANTIMATE(entropy, nonce, personalization)
2:   seed  $\leftarrow$  entropy  $\parallel$  nonce  $\parallel$  personalization
3:   V  $\leftarrow$   $\text{HASH\_DF}(\text{seed}, \text{seedlen})$ 
4:   C  $\leftarrow$   $\text{HASH\_DF}(0x00 \parallel V, \text{seedlen})$ 
5:   reseed_counter  $\leftarrow 1$ 
6:   return (V, C, reseed_counter)
7: end function

8: function GENERATE(V, C, reseed_counter, n, additional)
9:   if additional  $\neq \emptyset$  then
10:    V  $\leftarrow$  V +  $\text{HASH\_DF}(\text{additional}, \text{seedlen})$   $\triangleright$  mix in optional input
11:   end if
12:   out  $\leftarrow \epsilon$ 
13:   while  $|\text{out}| < n$  do
```

```

14:       $out \leftarrow out \parallel H(V)$ 
15:       $V \leftarrow V + 1$ 
16: end while
17:  $out \leftarrow$  leftmost  $n$  bytes of  $out$ 
18:  $V \leftarrow V + H(0x03 \parallel V) + C + reseed\_counter$             $\triangleright$  state update
19:  $reseed\_counter \leftarrow reseed\_counter + 1$ 
20: return ( $out, V, C, reseed\_counter$ )
21: end function

22: function RESEED( $V, entropy, additional$ )
23:    $seed \leftarrow entropy \parallel additional$ 
24:    $V \leftarrow \text{HASH\_DF}(seed \parallel V, seedlen)$ 
25:    $C \leftarrow \text{HASH\_DF}(0x00 \parallel V, seedlen)$ 
26:    $reseed\_counter \leftarrow 1$ 
27:   return ( $V, C, reseed\_counter$ )
28: end function

```

---

### 3 密码学标准中的伪随机数应用

此部分以 PKCS#1 与 PKCS#5 为例。

#### 3.1 PKCS#1

PKCS#1 规定了 RSA 的加密与签名相关方案，其中 **OAEP** (Optimal Asymmetric Encryption Padding) 用于加密随机化填充，**PSS** (Probabilistic Signature Scheme) 用于签名随机化。两者的共同点是：同一明文/同一消息重复处理，输出也应呈现随机化特征，以满足语义安全/不可区分性或抵抗结构性攻击的需求。

- **OAEP**: 需要随机种子 (seed)，再通过掩码生成函数 (MGF，通常基于哈希) 产生掩码，对明文编码进行随机化。
- **PSS**: 需要随机盐 (salt)，盐被并入哈希结构，形成概率化签名，使同一消息每次签名结果不同。

**安全要求：**上述 seed/salt 必须来自不可预测的随机源 (CSPRNG/DRBG /OS CSPRNG)。若随机性弱 (可预测、重复或熵不足)，则随机化目标被破坏，可能导致输出可被区分、可被关联或在某些实现情形下引发严重安全退化。

#### 3.2 PKCS#5

PKCS#5 覆盖口令相关密码学机制，其中 PBKDF2 (Password-Based Key Derivation Function 2) 用于从口令派生密钥。PBKDF2 的核心随机量是 salt：

- **salt 的目标**: 防止对常见口令进行预算算，并确保相同口令在不同条件下派生结果不同。
- **salt 的要求**: 必须随机且唯一。salt 一般不要求保密，但必须不可预测/不可复用。

若 salt 复用或低熵，攻击者可显著降低离线字典攻击成本，并能通过相同派生结果推断口令复用关系。

标准与随机量对应表 如下。

标准	使用环节	随机量	要求
PKCS#1	RSA: OAEP (加密) / PSS (签名)	OAEP: seed (MGF掩码); PSS: salt	高熵、不可预测、每次独立 (哈希随机化)
PKCS#5	PBKDF2 口令派生	salt	随机且唯一

表 3: PKCS#1 与 PKCS#5 中随机性的典型用途

## 4 不同编程语言中的随机数 API

不同语言的随机数接口通常分为两大类：

- **非密码学 PRNG API:** 用于仿真、采样、随机化算法与游戏。特点是速度快、接口丰富（支持各种分布）、可设定种子以保证实验可复现。
- **CSPRNG:** 用于密钥、nonce/IV、salt、会话标识符、重置口令 token 等安全敏感场景。其核心目标是不可预测性，通常由操作系统熵源支持。

### 4.1 各语言PRNG API

下面列出了几种主流语言的代表性随机数接口使用的算法，包括非密码学和密码学PRNG。

语言	PRNG	CSPRNG/DRBG
Python	MT19937	OS CSPRNG (SystemRandom / os.urandom)
C / C++	C: LCG及其变体； C++: 实现相关	OS CSPRNG或密码库 DRBG/随机接口（如 OpenSSL）
Java (JDK)	java.util.Random: LCG； SplittableRandom: 生成器族	SecureRandom: Provider; 常见为 DRBG 或 OS CSPRNG 封装
Go	math/rand: 版本相关, 常见为 ChaCha8	crypto/rand: OS CSPRNG
JavaScript	Math.random(): 规范不指定	WebCrypto / Node crypto: 通常依赖 OS CSPRNG
Rust	StdRng: 常见为 ChaCha	OsRng: OS CSPRNG
C# / .NET	System.Random: 版本相关	RandomNumberGenerator: OS CSPRNG

表 4: 不同语言的默认随机算法

#### 4.1.1 C语言中的随机数

C 时代的 rand() 接口有几个问题：

- **实现和质量完全依赖库实现：**很多实现只是一个 15 位左右的 LCG，周期短、相关性强。
- **可移植性差：**不同平台的 RAND\_MAX、算法可能差异很大。
- **缺乏分布支持：**只能得到整数，需要用户自己做缩放、映射，容易写出有偏的代码。

因此，C++ 标准在 `<random>` 中引入了一套更系统、更可组合的设施。

## 4.2 C++ 中的随机数

C++11 及以后的版本在 `<random>` 头文件中提供了一套比较完整的随机数框架，和传统的 C 语言不同，核心思想是将随机数引擎和分布分开进行，生成固定区间内的伪随机序列，然后同个数学手段转化成各种分布。

- **随机数引擎 (engine)：**提供一个基础的、通常是均匀分布在某个整数区间上的伪随机序列。
- **分布 (distribution)：**把引擎给出的整数流经过变换，生成服从某个目标分布的随机变量。

引擎和分布可以经由用户自行组合。

### 4.2.1 engines

标准库中定义了多种伪随机引擎模板，典型的包括：

- `std::linear_congruential_engine`: 线性同余生成器。
- `std::mersenne_twister_engine`: 梅森旋转算法引擎。
- `std::subtract_with_carry_engine`: 减带借生成器 (lagged Fibonacci 家族)。

`std::random_device` `std::random_device`也放在`<random>` 中，但它的定位和前面这些“伪随机引擎”不同，而是一个熵源适配器。理想上，它的作用是提供非确定性随机数，用于给其它引擎播种。然而，硬件不允许时，它仍生成伪随机数。

检测方式是调用`rd.entropy()`函数：

- 如果返回一个大于 0 的值，就表示有真实熵源；
- 如果返回 0.0，则表示它只是伪随机模拟器。

#### 4.2.2 distribution

C++ 标准库里的分布类负责把引擎提供的整数序列转换成各种分布类型。

#### 4.2.3 seeding

引擎的随机性完全由初始种子决定。C++ 提供了几种播种方式：

- 固定常数种子，序列完全可复现，常用于实验对比；
- 或用 `std::random_device`采集若干种子，再通过 `std::seed_seq`扩展到大状态。

#### 4.2.4 线程安全

C++ 标准库的随机引擎线程不安全。如果多个线程试图访问与修改同一个引擎对象，就需要外部同步。更常见、性能也更好的做法是：

- 每个线程维护一个独立的引擎实例，用不同的种子初始化。
- 在主线程中用 `random_device + seed_seq` 生成一组互不相关的种子分配给各线程。

## 5 PRNG的评价指标

PRNG的评价取决于其用途，主要有统计与密码学两类。

### 5.1 统计仿真

统计仿真通常将输出视为近似独立同分布样本，测量重点在于边际分布是否正确以及序列相关性是否足够低。代表性指标包括：

- **数位分布：**分桶频数/直方图、十进制 digit frequency、卡方检验等，用于发现显著偏置。
- **相关性：**自相关 (lag- $k$  correlation)、serial test (相邻二元/多元组联合分布) 等，用于发现周期结构或依赖关系。
- **几何结构：**绘制  $(x_i, x_{i+1})$  或  $(x_i, x_{i+t})$  散点，直观呈现线性同余类生成器在低维空间的条纹/格结构。

### 5.2 密码学

密码学应用 (key/nonce/IV/salt/token) 对随机性的核心要求是不可预测性，而不仅是统计学意义上的均匀。因此此类PRNG评价更接近安全分析与攻击视角验证：

- **不可预测性：**给定已观察输出，攻击者在多项式时间内既无法显著区分其与真随机序列，也无法以显著大于  $\frac{1}{2}$  的概率预测下一bit输出。
- **抗状态恢复：**仅从输出无法恢复内部状态或内部参数。
- **回溯与前向安全：**即使某时刻状态泄露，也难以回推历史输出，且通过重播种可恢复未来安全性。
- **熵与实现安全：**审计播种方式与熵源质量，并可通过重复率/碰撞率等简单实验暴露风险。

因此，统计测试（如频数/卡方）在密码学中至多是必要非充分条件：通过统计测试并不意味着安全。

## 6 应用实验

分别针对不同非CSPRNG实现内部统计性质对比，与CSPRNG与非CSPRNG的对比，设计了两组实验：

### 6.1 抽奖公平性实验

#### 6.1.1 实验设计

**实验背景** 在线抽奖、抽奖小程序和随机抽取获奖者都是典型的随机化应用场景。抽奖程序内部使用的随机数源应在参与者空间上近似均匀，且不存在可被利用的结构偏差。

现实中，不少系统直接使用简单 PRNG 来驱动抽奖逻辑，例如：

$$winner = LCG\_next() \bmod N,$$

或直接基于语言自带的非密码学接口。若 PRNG 质量较差或使用方式错误，则在重复活动中会造成系统性的偏差或可预测性，使抽奖不公平。

**实验模型与设置** 我们搭建一个简化抽奖模型，对比

- LCG
- MT

两种PRNG在抽奖公平性上的表现。

参数配置为：

- 参与者总数：  $n = 10000$ ；
- 每轮中奖人数：  $k = 100$ ；
- 抽奖轮数：  $rounds = 2000$ ， 总中签次数为  $Rk = 2 \times 10^5$ ；
- 分桶数量：  $buckets = 100$ ， 每桶包含  $n/100 = 100$  个参与者；
- 散点图采样点数：  $scatter\_points = 80000$ ， 用于绘制  $(j_t, j_{t+1})$ 。

**度量指标** 在理想情况下，每个参与者中签次数近似服从

$$\text{Binomial}\left(Rk, \frac{1}{n}\right), \quad \mathbb{E}[\text{wins}] = \frac{Rk}{n} = 20, \quad \text{Std}[\text{wins}] \approx \sqrt{20} \approx 4.47.$$

分桶后，每个桶的期望总中签次数为

$$\mathbb{E}[\text{bucket sum}] = \frac{Rk}{\text{buckets}} = 2000.$$

**统计量与可视化** 对于每一种随机源，我们统计如下指标：

1. **中奖次数分布：**记第  $i$  个参与者的中奖次数为  $C_i$ 。在理想均匀模型下，

$$C_i \sim \text{Binomial}\left(T, \frac{1}{N}\right), \quad \mathbb{E}[C_i] = \frac{T}{N}.$$

我们记录  $C_{\min} = \min_i C_i$ ,  $C_{\max} = \max_i C_i$  以及标准差。

2.  **$\chi^2$  拟合优度检验：**将每个参与者视作一个桶，比较实测频数  $C_i$  与理论期望  $T/N$ ，

$$\chi^2 = \sum_{i=0}^{N-1} \frac{(C_i - T/N)^2}{T/N},$$

在样本足够大时，该统计量在理想情形下近似服从自由度为  $N - 1$  的  $\chi^2$  分布。我们据此估计  $p$  值，用于判断实测分布是否显著偏离均匀。

3. **简单相关性检查：**可以进一步检查中奖序列  $\{w_t\}$  的自相关（例如统计  $w_t = w_{t+1}$  的次数、绘制  $(w_t, w_{t+1})$  散点）以发现潜在周期或局部结构。

### 6.1.2 实验结果与分析

**总体统计量** 可以看到，LCG 与 MT 的平均中奖次数都精确落在 20，说明两者在一阶矩上没有偏差。然而 LCG 的标准差为 12.98，约为理论值的三倍，而 MT 的标准差 4.41 与理论值非常接近。

RNG	均值	标准差	最小值	最大值
LCG	20.00	12.98	1	61
MT	20.00	4.41	6	38

表 5: 每人中奖次数的总体统计量 ( $n = 10000, k = 100, R = 2000$ )

如果假定抽奖完全公平, 则中奖次数大于 40 次的参与者大致对应于 4.5 个标准差以上的极端事件, 理论期望人数远小于 1。图 ?? 中可以看到, 在 LCG 情况下仍然出现了相当数量的“高频中奖者”(40 次以上)和“几乎从不中奖者”, 这说明 LCG 在此抽奖方案下产生了显著的不公平。

单人中奖次数直方图 如图:

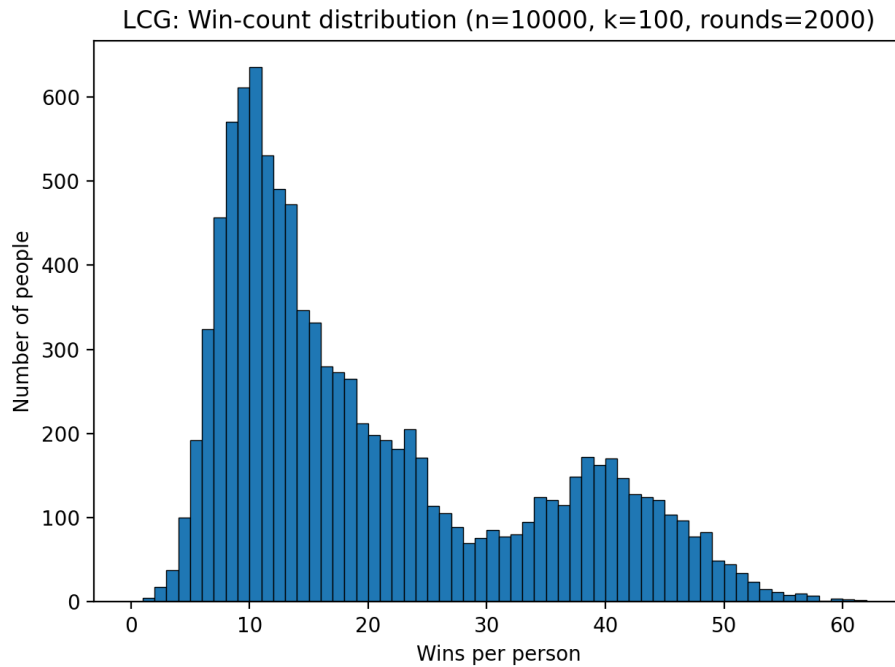


图 11: LCG

LCG 直方图呈现明显的双峰结构, 一部分人在 10 次左右集中, 另一部分在 35–45 次附近出现次峰, 整体分布被严重拉宽, 尾部也更厚。这

意味着参与者被分成了两个群体，与公平抽奖的单峰近似正态分布预期不符。

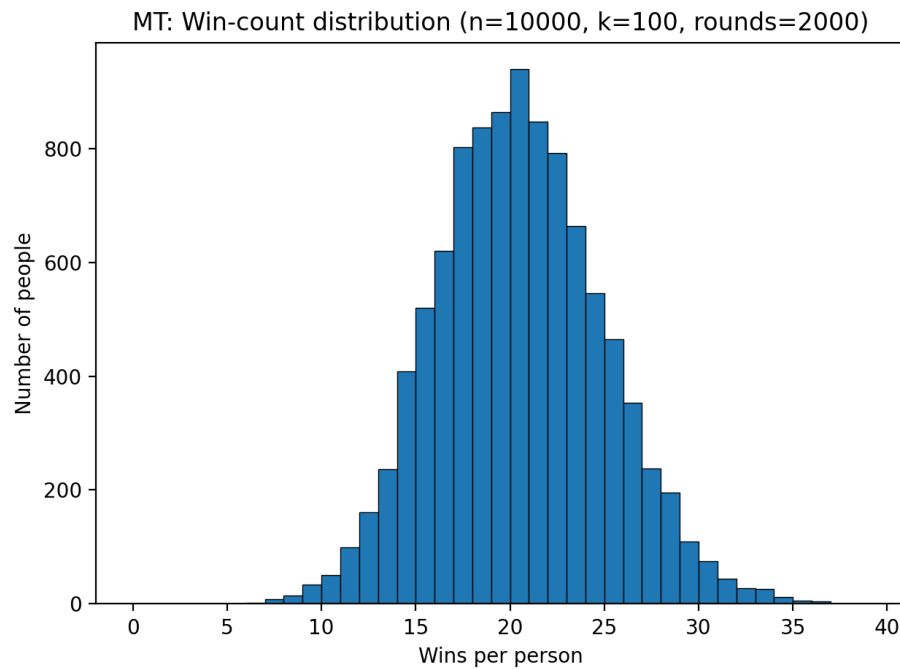


图 12: MT

而 **MT** 直方图近似一条对称的钟形曲线，峰值在 18–22 之间，左右衰减平滑，与  $\text{Binomial}(2000, 0.01)$  或其正态近似的形状高度一致，未见异常峰或长尾。

**chi-square 检验** 如图。

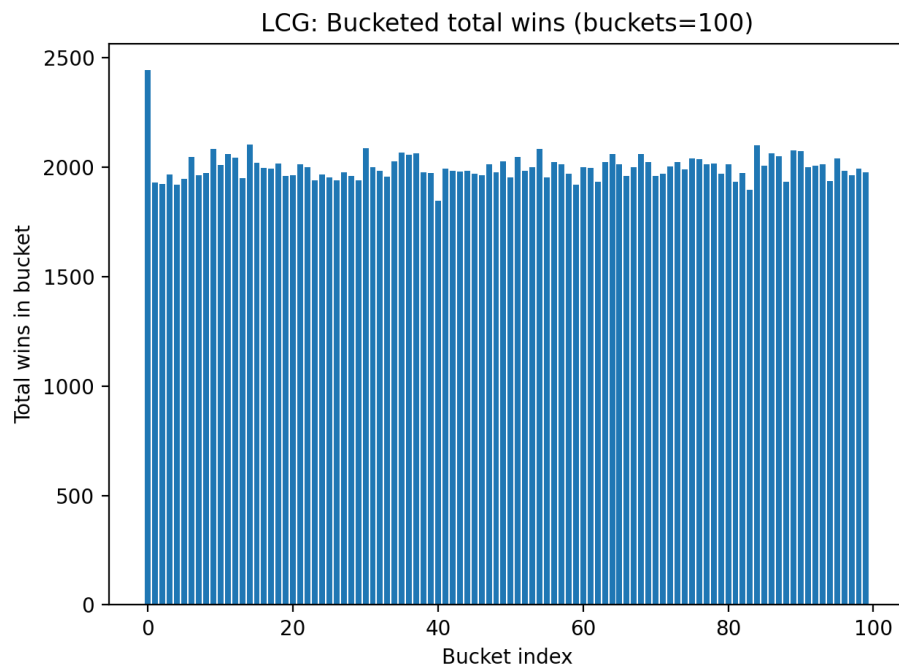


图 13: LCG: 按编号分桶的中奖总次数

LCG 大多数桶在 1900–2100 之间波动，但第一个桶明显偏高），远远超出随机波动的合理范围。全局卡方统计量为  $\chi^2 \approx 210.0$ ，在自由度 99 的情形下远大于期望值 99，对应的  $p$ -值极小，表明“编号到中奖次数”之间存在结构性偏差。

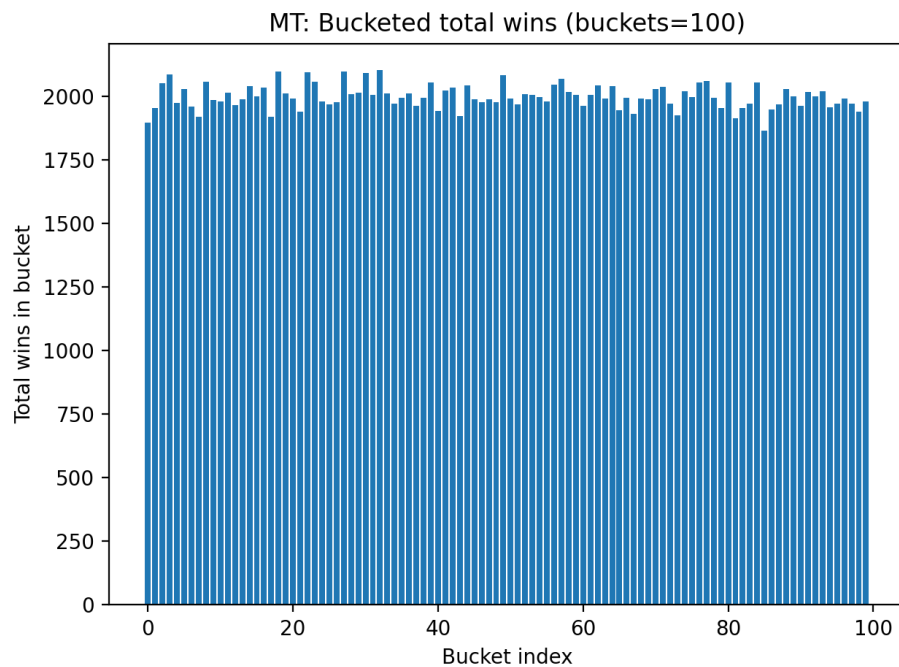


图 14: MT: 按编号分桶的中奖总次数

MT 各桶的中奖总数集中在 1900–2100，没有任何一个桶呈现明显“偏高”或“偏低”的异常。对应的卡方统计量约为  $\chi^2 \approx 109.7$ ，略高于理论期望，但仍在合理波动范围内。

索引序列散点图 如图所示。

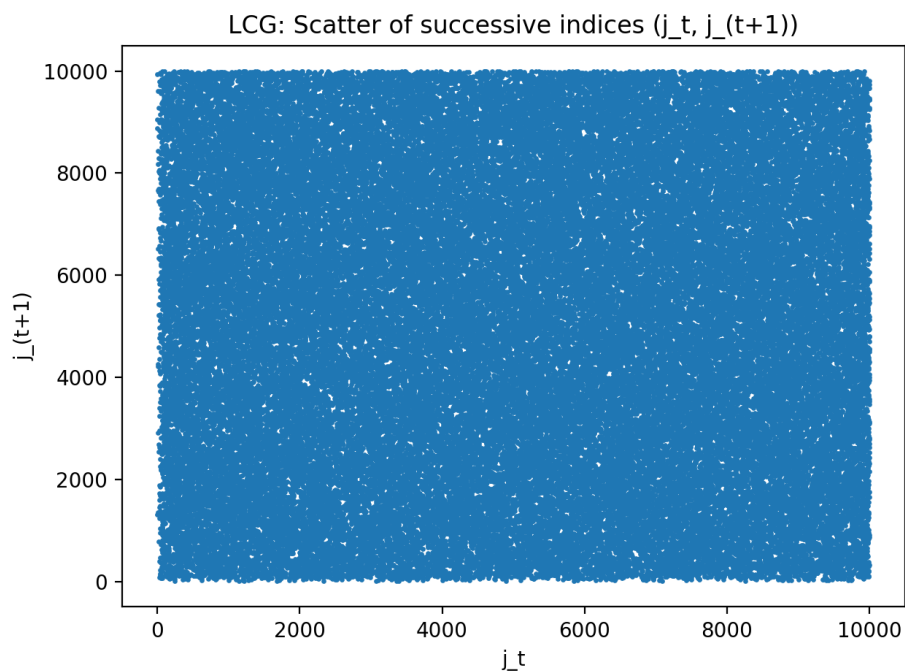


图 15: LCG散点图

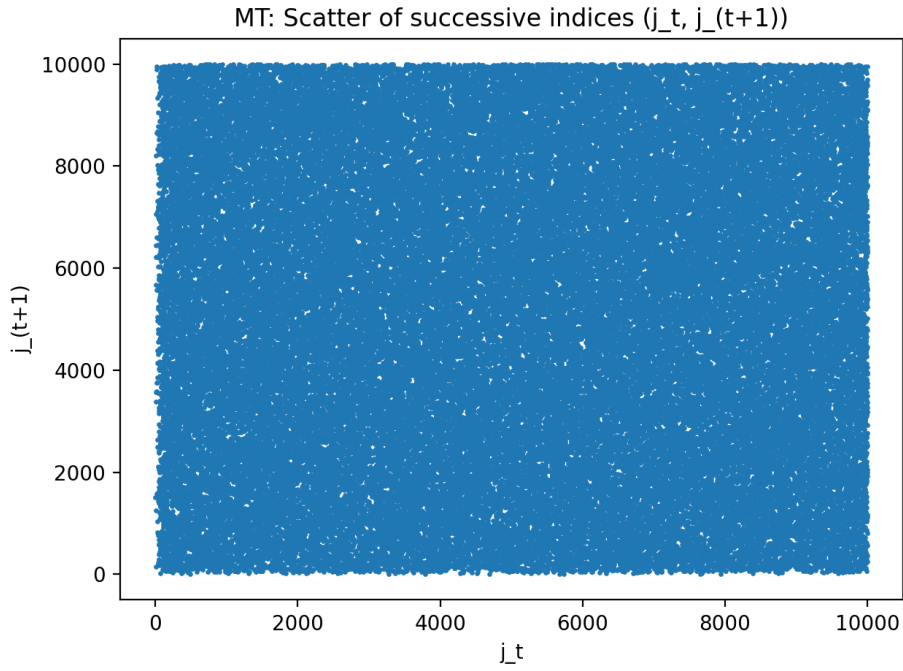


图 16: MT散点图

两种 RNG 的散点图都较为均匀，未出现明显条纹或空洞，表明 LCG 的问题主要体现在全流程组合之后的中奖次数分布上，而不是单次索引的局部相关性。

**小结** 在相同的抽奖规则与参数配置下，LCG 与 MT一阶均值上看似都“公平”，但 LCG 的中奖次数方差显著放大，中奖次数分布呈现双峰，桶级统计与卡方检验也暴露了对某些编号区间的系统性偏向。相比之下，MT 的统计特性与理论模型基本吻合，既未出现明显群体区分，也无明显编号区间偏置。因此，在本抽奖方案下，LCG 不应被视为公平的随机源，而 MT 至少在本实验规模和测试指标下表现为近似公平的选择。

## 6.2 Salt 生成实验

### 6.2.1 实验设计

**背景** 在Password-Based Key Derivation中，salt 指每条记录独立生成的一段随机值  $S$ ，与口令  $P$  一起输入到哈希/派生算法中。salt 的主要作用是：即使不同用户使用相同口令，也能得到不同的存储结果，从而抑制彩虹表预计算与跨用户复用攻击。注意 salt 不要求保密（可与哈希结果一起存储），但必须满足高熵、不可预测、且每条记录唯一。因此，salt/token/nonce 等安全对象的生成应依赖 CSPRNG/DRBG 或操作系统安全随机源，而不能使用仅满足统计意义随机性的通用 PRNG。

**实验目标** 本实验以“生成 128 位 salt/token”为载体，对比三类随机源在低位分布与相邻相关性上的表现，并用图像化测量说明：为什么即便某些通用 PRNG 在宏观频数上看似合理，仍不适用于密码学用途；进一步从攻击者视角展示：错误播种（time-seed）与线性结构（LCG）会导致可预测性。

**对比对象与实现方式** 我们生成长度为 128 bit 的序列  $\{T_t\}$ ，分别采用：

- LCG：状态递推  $x_{t+1} = (ax_t + c) \bmod 2^{32}$ 。每个 token 由连续 4 个 32bit 输出拼接得到： $T = x_i \| x_{i+1} \| x_{i+2} \| x_{i+3}$ 。
- MT19937：同样以 4 个 32bit 输出拼接成 128bit token。
- OS CSPRNG：直接调用 secrets.token\_bytes(16) 生成 16 字节随机串，并转为 128bit。

其中 LCG 与 MT 使用固定 seed，OS CSPRNG 由系统熵源驱动。

**测量指标** 检查两个指标：

1. 低位边际分布：统计 token 的低 4 bit 频数分布。
2. 相邻相关性：取每个 token 的低 16 bit 序列，绘制散点  $(y_t, y_{t+1})$ 。

此外，我们记录三类“辅助统计量”用于快速对齐实验规模与空间大小：完整 128 bit 的精确碰撞（理论上概率极低）、以及高位前缀碰撞（top 16/24/32 bit），用于解释生日悖论量级下的重复现象。

**结果** 本实验取样规模为  $N = 200000$ 。

指标	LCG	MT19937	OS CSPRNG
样本量 $N$	200000	200000	200000
128-bit 精确碰撞	0	0	0
Prefix-16 碰撞	137564	137522	137548
Prefix-24 碰撞	1144	1141	1165
Prefix-32 碰撞	0	4	6
Last-hex min	0	12265	12404
Last-hex max	50000	12683	12682

表 6: Salt/Token 统计

**prefix collisions** prefix collisions 的量级主要由“样本量 vs 空间大小”决定，受生日悖论主导。以 prefix-16 为例，前缀空间为  $2^{16} = 65536$ ，而  $N = 200000$  远大于该空间，因此必然出现大量重复；prefix-24 的空间为  $2^{24}$ ，在该样本量下出现千级重复同样属于正常量级。此处，prefix collisions 仅作为规模校验与对照。

### 6.2.2 实验结果与分析

如图。

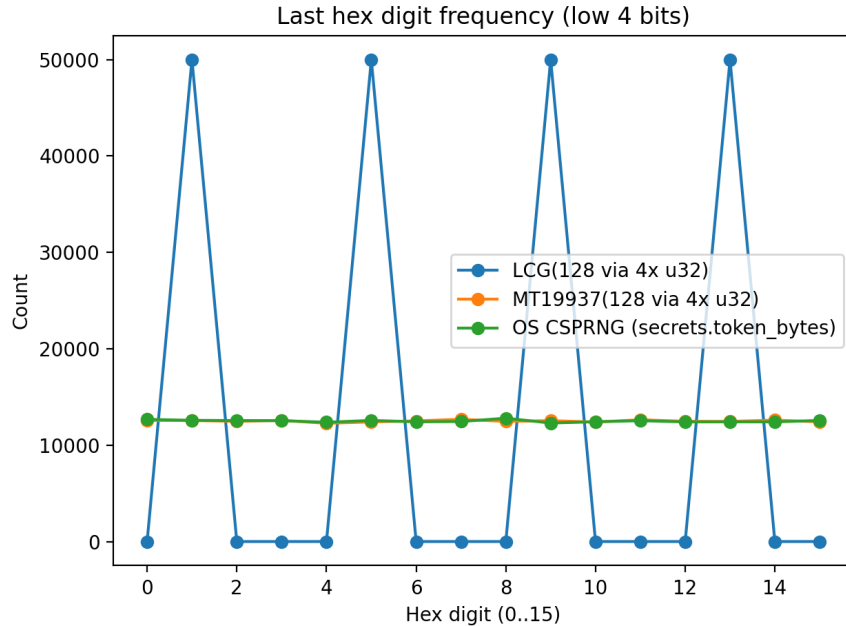


图 17: 低4bit频数分布对比

**频数** 如图, MT 与 OS CSPRNG 的最后一位十六进制数字频数接近均匀; 而 LCG 的结果高度异常: 仅有少数 digit 出现非零频数, 呈现强烈的周期性与偏置, 是 LCG 在模  $2^k$  下低位具有短周期结构的直接体现。尤其在本实现中, 每个 token 由 4 个连续 32bit 输出拼接而成, 因此 token 的最低 4 bit 等于“每 4 次输出中的固定位置”的最低 4 bit。对 LCG 而言, 低位在步长为 4 的抽样下可能被锁定到特定同余类, 从而导致低 4 bit 只能落在极少数取值上。这意味着攻击者可轻易区分该 token 是否由 LCG 生成, 并可利用低位结构进一步推断内部状态, 故 LCG 完全不适用于 salt/token。

**散点** 如图。

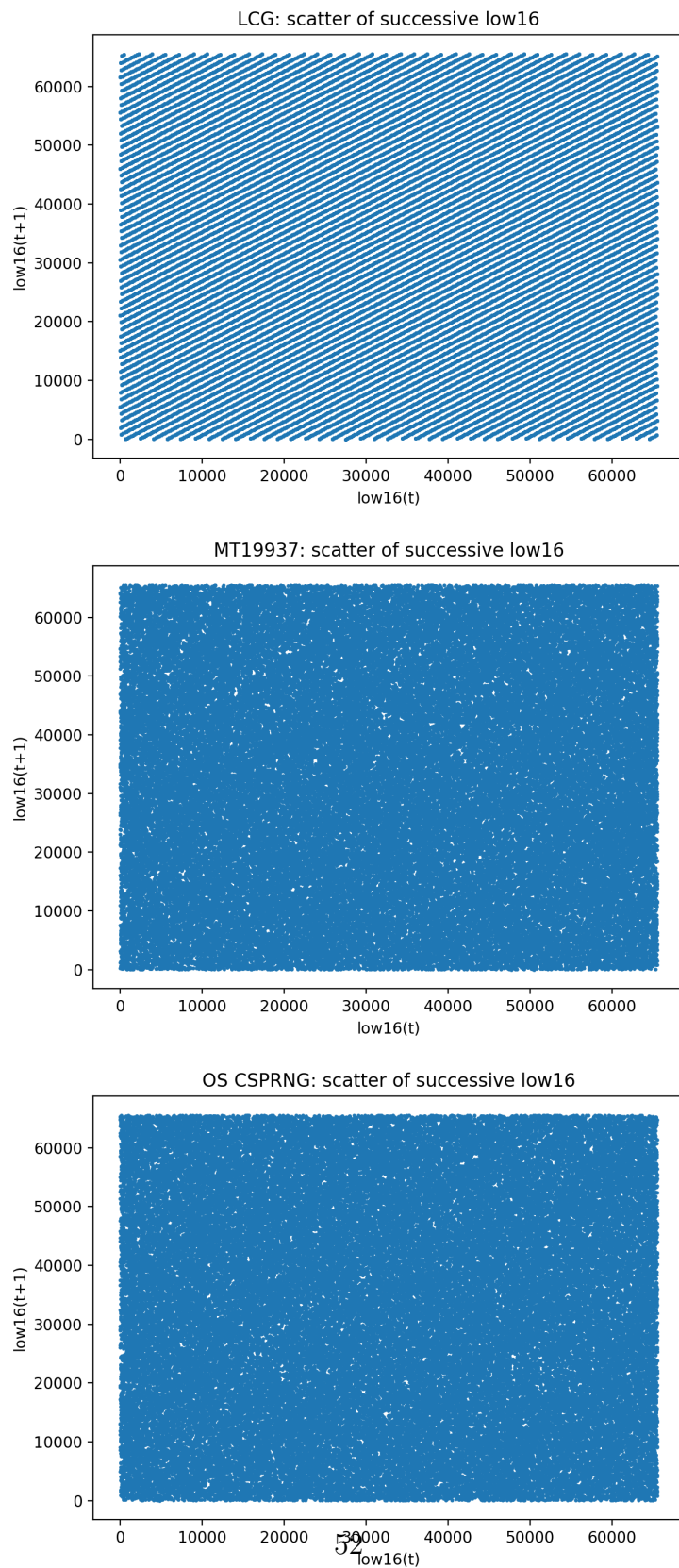


图 18: 相邻低 16 bit 散点对比

LCG 呈现清晰的晶格结构，说明相邻输出在低位存在强线性相关；而 MT19937 与 OS CSPRNG 的散点近似均匀铺满，未出现可见结构。这类条纹结构在密码学场景中意味着可预测性与可区分性风险。

**攻击视角** 仅凭统计图像已可判断 LCG 不适合安全对象，但密码学更关心“缺陷是否可被利用”。因此我们补充两个玩具攻击，用于说明：错误播种与线性结构会直接导向“可恢复/可预测”。

**A. time-seeded 导致 seed 可在小窗口内被恢复** 在许多错误实现中，开发者用“当前时间戳”作为 PRNG 的 seed 生成 token/salt。时间戳熵极低，攻击者通常可从请求时间、日志、页面加载时间等估计 seed 落在很小窗口内，于是可以穷举匹配并恢复 seed。在本实验中，攻击者假设误差不超过  $\pm 30$  秒，即成功恢复 seed：

- **LCG:** 观察到首个 token 为 `6c95b0aba5200e0ec4073e1523967870`，在  $\pm 30$  秒内恢复  $\hat{s} = 1768016764$ 。
- **MT19937:** 观察到首个 token 为 `bab948e82529d7dce3bb9b2f9c052a5f`，同样在  $\pm 30$  秒内恢复  $\hat{s} = 1768016764$ 。

由于 LCG 与 MT19937 都是确定性生成器，一旦 seed  $\hat{s}$  被恢复，攻击者即可复现实例并生成与受害者一致的后续输出序列，从而实现对后续 token/salt/nonce 的预测。这说明 time-seeded 会把本应来自高熵随机源的安全对象，降维为几十次穷举即可解决的问题。

**B. LCG 参数恢复：由三个连续输出恢复  $a, c$  并预测下一输出** LCG 满足  $x_{n+1} \equiv ax_n + c \pmod{2^{32}}$ 。若攻击者获得三个连续输出  $x_0, x_1, x_2$ ，则  $x_2 - x_1 \equiv a(x_1 - x_0) \pmod{2^{32}}$ 。当  $(x_1 - x_0)$  在模  $2^{32}$  下可逆（等价于其为奇数）时，可解出  $a \equiv (x_2 - x_1) \cdot (x_1 - x_0)^{-1} \pmod{2^{32}}$ ，并进一步  $c \equiv x_1 - ax_0 \pmod{2^{32}}$ 。本实验的脚本输出给出一组成功恢复的实例：

$$x_0 = 1015568748, \quad x_1 = 1586005467, \quad x_2 = 2165703038.$$

恢复得到  $\hat{a} = 1664525$ ,  $\hat{c} = 1013904223$ ，与真实参数完全一致；预测下一输出  $\hat{x}_3 = 3027450565$ ，与真实  $x_3 = 3027450565$  一致。该结果表明：LCG

的线性结构不仅会在统计图中暴露，更能被攻击者直接利用实现恢复与预测。

在 PKCS 相关实践中，随机性不仅用于“看起来随机”，更关键是应满足不可预测性。salt/token/nonce/key 等安全对象，不应该使用统计用途的 PRNG（如 MT、PCG），而应使用 OS CSPRNG 或标准化 DRBG。

## 7 结语

### 7.1 报告总结

随机数生成是一个有趣而又充满细节的话题。本文首先从算法与数学结构出发，回顾了若干典型 PRNG 的设计思路与优缺点；随后，讨论了 CSPRNG 的安全性定义与标准演进，并通过 PKCS#1、PKCS#5 等规范展示了随机性在实际密码协议中的具体落地方式。最后通过两个实验，将不同PRNG与CSPRNG之间性能的区别直观化。

PRNG的选择依赖于具体场景。在数值仿真、Monte Carlo 和算法随机化中，应选择高速且统计性质良好的非密码学 PRNG（如 PCG、xoshiro 与 MT 系列），并合理设置种予以保证可重复性；而在密钥、nonce、salt、token 等安全敏感场景，则必须使用操作系统 CSPRNG 或符合 NIST SP 800-90A 等规范的 DRBG。

### 7.2 个人反思

总的来说，随机数是一个上手做之后才发觉其应用之广泛而复杂的话题。受能力与时间限制，本报告还有诸多不足，如未来得及对所有PRNG进行 dieharder 测试、完成详尽的攻击测试等。但在完成报告的过程中，我学会了怎么写 latex 和 linux 的基本操作。同时，由于对 python 的不熟悉，部分 python 代码由 ai 辅助生成。如今 ai 工具的强大能够极大程度减少对机械人力的需求，但真正的思考还是得自己来，否则只会成为 Ctrl+C、Ctrl+V 的受害者。

感谢阅读！

## 参考文献

- [1] T. E. Hull and A. R. Dobell. Random Number Generators. *SIAM Review*, 4(3):230–254, 1962. doi:10.1137/1004061. <https://doi.org/10.1137/1004061>.
- [2] John Kelsey, Bruce Schneier, David Wagner, and Chris Hall. Cryptanalytic Attacks on Pseudorandom Number Generators. In Serge Vaudenay (ed.), *Fast Software Encryption (FSE)*, pp. 168–188, 1998. Springer. doi:10.1007/3-540-69710-1\_12.
- [3] Melissa E. O’Neill. *PCG: A Family of Simple Fast Space-Efficient Statistically Good Algorithms for Random Number Generation*. Technical Report HMC-CS-2014-0905, Harvey Mudd College, 2014. <https://www.cs.hmc.edu/tr/hmc-cs-2014-0905.pdf>.
- [4] Makoto Matsumoto and Takuji Nishimura. Mersenne twister: a 623-dimensionally equidistributed uniform pseudo-random number generator. *ACM Transactions on Modeling and Computer Simulation*, 8(1):3–30, 1998.
- [5] NIST. *SP 800-90A Rev. 1: Recommendation for Random Number Generation Using Deterministic Random Bit Generators*. 2015. <https://nvlpubs.nist.gov/nistpubs/SpecialPublications/NIST.SP.80-90Ar1.pdf>.
- [6] J. Jonsson and B. Kaliski. *RFC 8017: PKCS #1: RSA Cryptography Specifications Version 2.2*. IETF, 2016. <https://www.rfc-editor.org/rfc/rfc8017>.
- [7] S. Moriarty, B. Kaliski, A. Rusch, and M. Szydlo. *RFC 8018: PKCS #5: Password-Based Cryptography Specification Version 2.1*. IETF, 2017. <https://www.rfc-editor.org/rfc/rfc8018>.

- [8] Python Software Foundation. *random — Generate pseudo-random numbers*. Python documentation. <https://docs.python.org/3/library/random.html>.
- [9] Python Software Foundation. *secrets — Generate secure random numbers for managing secrets*. Python documentation. <https://docs.python.org/3/library/secrets.html>.
- [10] cppreference.com. *<random> library and std::mt19937*. <https://en.cppreference.com/w/cpp/header/random>.
- [11] Oracle. *Class java.util.Random*. Java SE documentation. <https://docs.oracle.com/en/java/javase/>.
- [12] Oracle. *Class java.security.SecureRandom*. Java SE documentation. <https://docs.oracle.com/en/java/javase/>.
- [13] The Go Authors. *Package crypto/rand and Package math/rand*. Go documentation. <https://pkg.go.dev/crypto/rand> <https://pkg.go.dev/math/rand>.
- [14] Rust getrandom crate. *getrandom: Retrieve random data from system sources*. <https://docs.rs/getrandom/>.